



Gprocom d.o.o.

Gradbeni in geotehnični inženiring ter poslovne storitve d.o.o.

Razvanjska cesta 76,
2000 MARIBOR
tel: 02/429 58 50
02/429 58 51

TR pri NKBM d.d.
SI56 04515 0002559950
ID za DDV
SI41539737
Matična številka
1535048

2.1 NASLOVNA STRAN NAČRTA

NAČRT IN ŠTEVILKA OZNAKE NAČRTA:

2.0 NAČRTI S PODROČJA GRADBENIŠTVA štев.: 2460/2023

INVESTITOR:

OBČINA LAŠKO

Mestna ulica 2, 3270 LAŠKO

(ime, priimek in naslov investitorja oziroma njegov naziv in sedež)

OBJEKT:

Zemeljski plaz pod JP 702461 Maček- Mulenca in stanovanjskim objektom

Sp. Rečica 68

(poimenovanje objekta, na katerega se gradnja nanaša)

VRSTA PROJEKTNE DOKUMENTACIJE:

IZN- izvedbeni načrt

(idejna zasnova, idejni projekt, projekt za razpis, projekt za izvedbo, izvedbeni načrt)

ZA GRADNJO:

Vzdrževalna dela v javno korist

(investicijska vzdrževalna dela, vzdrževalna dela v javno korist)

PROJEKTANT:

GPROCOM d.o.o., Razvanjska cesta 76, 2000 MARIBOR

Identifikacijska številka: 2155

ki ga zastopa : Danilo MUHIČ, d.i.g.

(naziv projektanta, sedež, ime in podpis odgovorne osebe projektanta, žig in podpis)

VODJA PROJEKTA:

Danilo MUHIČ, dipl.inž.grad., G-3613

(ime odgovornega projekta, strokovna izobrazba, identifikacijska številka, osebni žig, podpis)

ŠTEVILKA PROJEKTA IN IZVODA, KRAJ IN DATUM IZDELAVE PROJEKTA:

(številka projekta, evidentirana pri projektantu, kraj in datum izdelave projekta)

Številka projekta : 2460/2023

Številka izvoda : 1, 2, 3, 4, A

Kraj in datum izdelave : Maribor, november 2023

(13)



OBČINA LAŠKO
LAŠKO

OBRAZEC 5

Prejelo:	04 -07- 2023	Sig. z.:	10604
Številka zadeve:	330-62-003-18		
	Fil.:	Vred.:	

OCENA ŠKODE NA GRADBENIH INŽENIRSKIH OBJEKTIH (transportna infrastruktura, distribucijski cevovodi, vodni objekti in drugo), POVZROČENE PO NARAVNI NESREČI

1. PODATKI O NESREČI

1.1. VRSTA NESREČE

MOČNO NEURJE MED 14.5. IN 17.5.2023

*iz priloge 1 Pravilnika o obveščanju in poročanju v sistemu varstva pred naravnimi in drugimi nesrečami (Uradni list RS, št. 26/08).

1.2. DATUM NASTANKA OZIROMA ODKRITJA NESREČE

140523

2. LOKACIJA POŠKODOVANEGA OBJEKTA

2.1. OBČINA

OBČINA LAŠKO



OLEG68766

2.2. NASLOV

MESTNA ULICA 2, 3270 LAŠKO

2.3. PARCELNA ŠT. / K.O.

1235/9, h.-o. Recica

2.4. VRSTA G. I. OBJEKTA

STOŽEC - MULENCA

-0147

2.5. LETO ZGRADITVE G. I. OBJEKTA

--	--	--

**2.6. DOLŽINA POŠKODOVANEGA
ODSEKA (m²)**

320 m²

2.7. CETROID x , CETROID y

x = 516537 y = 13788

3. PODATKI O LASTNIKU ALI NAJEMNIKU

3.1. OŠKODOVANEC

OBČINA LAŠKO

**3.2. FIZIČNA OSEBA
PRAVNA OSEBA**



3.3. NASLOV

MESTNA ULICA 2

3.4. POŠTA

| 3270 LAŠKO

3.5. DAVČNA ŠTEVILKA

1	1	7	3	4	6	1	2
---	---	---	---	---	---	---	---

3.6. EMŠO/MATIČNA ŠTEVILKA

5	8	7	4	5	0	5							
---	---	---	---	---	---	---	--	--	--	--	--	--	--

3.7. KONTAKTNI PODATKI

ANDREJ KALUŽA (041/670-900)

4. OCENA ŠKODE

* iz cenika URSSR, objavljenega na www.sos112.si

**** 41. člen uredbe**

DATUM OCENE ŠKODE

8-6-2023

Oškodovanec

Občinska komisija ali cenilec (ime in priimek ter podpis)

1. ANDREJ KALUŽA
2. ALJAŽ KRPIČ
3. LJUBICA VIŽINTIN



Ta ocena škode se šteje kot vloga za izplačilo sredstev za odpravo posledic naravne nesreče, če bo Vlada Republike Slovenije za naravno nesrečo, v kateri je bila ta ocena škode narejena, odločila, da se uporabijo sredstva za odpravo posledic škode na stvareh, in sprejela predpisani program odprave posledic škode (Zakon o odpravi posledic naravnih nesreč, Uradni list RS št. 114/05 – UPB, 90/07 in 102/07).

Oškodovanec



2.1	KAZALO VSEBINE NAČRTA štev.: 2460/2023
2.0	Naslovna stran načrta
2.1	Kazalo vsebine načrta
2.2	Tehnično poročilo
2.3	Stabilnostna in geostatična presoja
2.4	Popis del in projektantski predračun
2.5	Risbe

2.2 Tehnično poročilo

1.0 SPLOŠNI DEL

Po naročilu Občine Laško je na osnovi geološko geomehanskih raziskovalnih del izdelano geomehansko poročilo in izvedbeni načrt obnove cestišča z asfaltiranjem in sanacije zemeljskega plazu pod JP 702461 Maček- Mulenca in stanovanjskim objektom Sp. Rečica 68.

Za ugotovitev vzrokov labilnosti in izdelavo načrta so bila izvedena naslednja dela:

- tehnični geodetski posnetek območja
- izvedba DP sond za oceno strukturnega in gostotnega sestava tal
- opazovanje pojava talne vode v sondah
- vrednotenje rezultatov preiskav in izdelava geomehanskega poročila

1.1 Geografsko- geomorfološki opis območja

Trasa predmetnega odseka javne poti poteka po terenu in mešanem profilu blagega do srednje strmega južnega in jugozahodno orientiranega pobočja, katero pod traso predstavlja dokaj izrazita kotanja- depresija v smeri juga. Področje je pretežno travnatih in nizkim grmičevjem, trasa cesta na nadmorski višini med ≈ 284.4 in 287.3 mnv, redko poseljenega naselja Sp. Rečica. Cestišče je makadamsko v slabem stanju z neurejenim površinskim odvodnjavanjem.

1.2 Opis labilnega območja

V cestnem telesu trase javne poti in lokacije gospodarskega objekta ob cesti so se v srednjem in robnem delu aktivirane zemeljske mase v obliki zemeljskega plazu v širini ca 25 m in dolžine ca 15-20 m. Brežina – pobočje pod cesto ima naklon ca 15- 25° kjer je bil v srednjem delu cestnega telesa viden izrazit čelnji lom višine do 15 cm in zajema $1/2$ širine vozišča in celotno bankino z izrazito posednjim zunanjim levim robom ceste. V bočnih smereh pa je bil lom viden le v zgornjem delu, narivi zemljin v pobočnem delu so manj izraziti oziroma zabrisani.

Glede na stanje cestnega telesa, velikost deformacij ter večjih konstrukcijskih poškodb na gospodarskem objektu ob trasi ceste se deformacije po oceni pojavljajo daljše časovno obdobje. Hitrost in velikost deformacij je bila pogojena z veliko količino padavin po neurju 14.5 in 17.5 2023 ter posledičnim pojavom večje količine talnih precejnih vod iz zalednega dela pobočja. Nastale so porušitve in premiki zemeljskih mas, velikost deformacij in obseg labilnega območja pa nakazuje na možnosti nadaljnih pomikov v temeljnih tleh v vozišču. Vozišče je bilo za zagotovitev prevoznosti lokalno sanirano z navozom kamnite lomljjenca. V ožjem območju ni vidnih prostih precejnih vod, v niže ležeči kotanji pa so vidne prosti izcedne vode na površju, lokalno zamočvirjena območja ter zastajanja voda v rahlih depresijah.

Geometrija odlomnega roba v obliki vertikalnih ploskev, kaže na mehanizem nastanka plazu zaradi izgube strižne trdnosti zemljin- školjkasti lom.

1.3 Tehnični geodetski posnetek

Vplivni prostor obravnavanega labilnega območja je geodetsko posnet in vključuje konture poškodb na cesti ter okoliški porušen ter neprizadet del območja. Posnetek je vpet v državni koordinatni sistem D96.

2.0 GEOMEHANSKO PEROČILO

2.1 Opis preiskave tal

Za oceno strukturnega sestava temeljnega polprostora in določitev trdnostnih mehanskih lastnosti zemljin ter hribine sta bili na karakterističnih mestih v trasi ceste izvedeni dve penetracijski sondi z dinamičnim penetrom tipa DPSH, oprema Pagani TG 63/100, globine 10.6 in 11.8 m. Sondažna raziskovalna dela so se izvajala v mesecu juliju 2023.

Situativna lega izvedenih izkopov in sond je razvidna iz priložene situacije obstoječega stanja in terenskih raziskav, poglavje 2.5, št. priloge 2.5.1. Podatki o nadmorskih višinah sond, njihovih koordinatah in globini z podatki o pojavu talne vode so podani v tabeli 1.

Tabela 1: Podatki o raziskovalnih sondah

zap. št.	oznaka sonde	kota vrha z (m.n.v.)	koordinate		globina (m)	pojava talne vode (m)
			y	x		
1	DP1	282.68	516 932.26	113 785.43	10.6	-3.4 m (precejna)
2	DP2	282.99	516 971.05	113 785.59	11.8	/

Strukturni sestav tal je ocenjen z uporabo standardnih preizkusov po SIST EN ISO 14688-1:2018.

2.1.1 Preiskave dinamičnih penetracij

Preiskave z dinamičnim penetrom so izvedene z opremo tipa DPSH ki je skladna z standardom EN ISO 22476-2:2005, SIST EN 1997-2: 2007 in korelacije podane s strani proizvajalca opreme. Pri tem tipu preiskav 63,5 kg utež iz višine 75 cm prosto pada na standardizirano drogovje z težo 6.5 kg/m² in 90° konico z premerom 51 mm- 20 cm². Rezultate preiskave je število udarcev kladiva potrebnih, da se konica pogrezne za 20 cm (število N₂₀).

Koefficient efektivnosti zabijalne naprave Er je 73%, energijski faktor za vrednotenje SPT tako znaša k₆₀ = Er /60=1.22.

Rezultati sondiranja so podani v tabelah in diagramih, poglavje 2.5, št. priloge 2.5.10. Za izračun je uporabljen računalniški program GEOSTRU Dynamic penetration test. Izračun točkovnega dinamičnega odpora na konico je izведен po EN ISO 22476-2:2005 po osnovnih enačbah:

$$r_d = \frac{m \cdot g \cdot h}{A \cdot e} ; \quad q_d = \frac{m}{m+m'} \cdot r_d$$

q_d dinamični odpor na konico
 r_d točkovni odpor na konico
 E_r koeficient efektivnosti zabijane naprave
 m masa bata
 g gravitacijski pospešek
 h višina pada bata
 A površina konice
 e povprečna penetracija udarcev ($e=0,2 \text{ m}/N_{20}$)
 m' skupna masa drogovja in nakovala

Z korelacijo SPT preizkusov so izvrednotene geomehanske lastnosti tal izpeljane iz razmerja specifičnega dela ki je potreben za korak penetracije 30 cm pri SPT in 20 cm pri DPSH, $N_{SPT} = 1,5 \cdot N_{20}$.

Izračun normiranega števila udarcev je izveden v skladu z standardom EN ISO 22476-2:2005 in SIST EN 1997-2: 2007. Vrednost normiranih vrednosti udarcev pri SPT preizkusih so korigirane glede na koeficient prenosa energije k_{60} , dolžina drogovja λ ter korekcije zaradi efektivnega vertikalnega tlaka C_N (Skempton, 1986).

$$(N_1)_{60} = N_{SPT} \cdot K_{60} \cdot \lambda \cdot C_N$$

Vrednotenje geomehanskih parametrov

Na osnovi ocene geološko zgradbe ter normiranih vrednosti udarcev $(N_1)_{60}$ so določene nekatere vrednosti geomehanskih lastnosti.

- indeks relativne gostote: $I_d = ((N_1)_{60} / 60)^{1/2}$
- enoosna tlačna trdnost za koherentne zemljine je definirana po enačbi Peck et al; $q_u = 12,5 \cdot (N_1)_{60}$
- ocena strižnega kota za vezane zemljine: $\phi = 20^\circ + ((N_1)_{60} - 2) \cdot 0,780$

Za nevezane zemljine so izvrednotene vrednosti indeksa gostote (I_d) ter kot strižnega odpora (ϕ) po tabeli 3 (Skempton , 1968).

gostota	zelo rahlo	rahlo	srednje gosto	gosto	zelo gosto
$(N_1)_{60}$	0-3	3-8	8-25	25-42	42-58
$I_d (\%)$	0-15	15-35	35-50	50-85	85-100
$\phi (\circ)$	<28	28-33	33-36	36-41	41-44

Tabela 3: Vrednosti indeksa gostote in strižnega kota za nevezane zemljine

Za vezane zemljine so izvrednotene- ocenjene vrednosti nedrenirane strižne trdnosti c_u (kPa) podane v tabeli 4 (Bowles, 1968) kjer je $c_u = q_u / 2$.

$(N_1)_{60}$	konsistentno stanje	q_u (kPa)	c_u (kPa)
<2	židko	<24	<12
2-4	lahko gnetno	24-48	12-24
4-8	srednje gnetno	48-96	24-48
8-16	težko gnetno	96-192	48-96
16-32	poltrdno	192-384	96-192
>32	trdno	>384	>192

Tabela 4: Vrednosti enoosne tlačne trdnosti

Kriteriji za oceno Yongovega modula elastičnosti E (Tan et all, 1991):

- za peščeno prodnate zemljine

$$E = 600 \cdot ((N_1)_{60} + 6) + 2000 \quad \text{za } (N_1)_{60} > 15 \text{ (kPa)}$$

$$E = 600 \cdot ((N_1)_{60} + 6) \quad \text{za } (N_1)_{60} < 15 \text{ (kPa)}$$

- za glinaste zemljine

$$E = 320 \cdot ((N_1)_{60} + 15) \text{ (kPa)}$$

V tabeli 5 so podane ocnjene vrednosti posameznih geomehanskih parametrov po plasteh za karakteristične sloje:

oznaka sonde	globina intervala (m)	klasifikacija EN ISO 14688-1:2018	N _{spt} /N ₆₀	(N ₁) ₆₀	penoosna tlač. trdnost q _u (kPa)	indeks gostote I _D (%)	strižni kot φ (°)	elastični modul E (kPa)
			ud./30cm	ud./30cm				
DP1	0.0-0.2	Mg (nasip)	4.47	7.60	-	35.6	29.8	8160
	0.2-2.2	CI (glina)	2.86	4.86	60.7	-	(22.2)	6355
	2.2-5.0	CI (glina s kosi laporja)	4.46	5.84	73.0	-	(23.0)	6668
	5.0-6.8	CI (glina s vložki laporja)	8.03	7.88	98.5	-	(24.6)	7321
	6.8-10.0	zelo prep. lapor z glino	15.15	12.28	-	45.2	31.5	10968
	10.0-10.4	prep. lapor	38.37	27.95	-	68.3	37.2	22370
	10.4-10.6	lapor	62.48	44.87	-	86.5	41.6	32522
DP2	0.0-0.2	Mg (nasip)	11.93	20.28	-	58.1	34.5	17768
	0.2-1.4	CI (glina)	2.24	3.80	47.5	-	(21.4)	6018
	1.4-3.0	CI (glina s kosi laporja)	7.57	12.27	153.4	-	(28.0)	8726
	3.0-6.4	gruščnat lapor z glina	15.85	17.15	-	53.3	33.4	14690
	6.4-9.4	zelo prep. lapor z glino	14.87	12.20	-	45.1	31.5	10920
	9.4-11.2	prep. lapor	27.60	19.59	-	57.2	34.2	17354
	11.2-11.8	lapor	56.89	37.99	-	79.6	40.1	28394

Tabela 5: : () ocena strižnega kota za vezane zemljine

2.2 Opazovanje pojava talne vode

Podtalna precejšnja voda je bila v času izvedbe raziskovalnih del registrirana v sondi DP1 v relativnih globinah med 3.4 m pod površjem terena.

2.3 Opis geološko geomehanskih razmer

Pri določitvi geološka opis in zgradbe so upoštevani in uporabljeni podatki iz osnovne geološke katere, list Celje L 33-55 v merilu 1:100 000 z tolmačem.

Predmetno območje predstavlja nizko gričevnato področje Savskega pogorja katero je v osnovi zgrajeno iz miocenskega laporja z geološko oznako M¹₂. Podlaga je pretežno kompaktna slabo do močno pretrta in na površini preperela ali slabo vezana. Preko hribinske podlage laporja je direktno odložen sloj glinaste preperine. Barva je svetlo rjava, sivo rjava in siva.

Glinena preperina se v vrhnji coni pojavlja kot pusta in peščena (CI) , globljen pa zelo preperela ali gruščnata hribina z glino, preperela in pretrta hribina v različnih prehodih. Debelina glinenega pokrova z vložki laporja je 2.8-6.6 m, gruščnatega in zelo preperelega laporja z glino debelina 3.2-6.4 m, debelina preperele hribine pa 0.4-1.8 m. Hribina kompaktnega delno preperelega in pretrtega laporja se nahaja v relativni globini pod 10.4-11.2 m glede na površje terena. Plasti so nagnjene v smeri juga in jugozahoda.

Terenske meritve so pokazale, da je pretežni del glinenega pokrova v naravno odloženih oblikah srednje in težko gnetnih z enoosno tlačno trdnostjo $q_u = 60-150 \text{ kN/m}^2$ strižne lastnosti zemljin so v mejah, kot notranjega trenja $\varphi = 21-25^\circ$ pri koheziji $c=0-5 \text{ kN/m}^2$. Zelo preperela in gruščnata hribina z glino je pretežno srednje gostega do gostega sestava z indeksom relativne gostote $I_D = 45-53\%$, strižne lastnosti zemljin so v mejah kot notranjega trenja $\varphi = 31-34^\circ$ pri koheziji $c=0 \text{ kN/m}^2$. Preperela hribina je pretežno gostega sestava z indeksom relativne gostote $I_D = 57-68\%$, strižne lastnosti zemljin so v mejah kot notranjega trenja $\varphi = 34-37^\circ$ pri koheziji $c=0 \text{ kN/m}^2$. Podlaga laporja pa nastopa kot gosta in zelo gosta z indeksom relativne gostote $I_D = 57-68\%$, kjer so strižne lastnosti, kot notranjega trenja $\varphi = 40-42^\circ$ pri koheziji $c=0 \text{ kN/m}^2$.

V hidro geološkem smislu se v obravnavanem prostoru ločita praktično nepropustna podlaga laporja in v površini pretežno zelo slabo vodoprepustni pokrov glinastih zemljin v vložki preperelega laporja in grušči z zelo preperelo hribino in glino v različnih prehodih. Inženirske geološke lastnosti ki pogojujejo stabilnostne karakteristike tal so v preperinskem pokrovu v glavnem dokaj dobre. Območje je občasno močneje obremenjeno s talno precejno vodo katera se pojavlja dokaj plitvo po površjem terena kar je povzročilo spremembe ravnotežnih pogojev z znižanjem kohezijske odpornosti in nastanka strižnih con in pojava plazenja oziroma zdrs z vodo prepojenega preperinskega pokrova, kar je vidno v porušitvi povrhnjice cestnega telesa, narivi zemljin so manj izraziti oziroma zabrisani.

V območju plazu se na osnovi izvedenih preiskav ločijo naslednje geotehnične enote:

- vezane glinaste zemljine pokrova , debeline 2.8-6.6 m
- zelo preperela delno gruščnata hribina z glino, debeline 3.2-6.4 m
- preperela hribina laporja, debeline 0.4-1.8 m
- podlaga: lapor pod globino 10.4-11.2 m

2.4 Stabilnostna presoja

Za ugotovitev nivoja porušitve in določitev pogojev sanacije je za izbran kritični srednji pobočni profil P5 izvršena povratna stabilnostna presoja po Janbujevi analitični metodi, s supozicijo kombiniranih krožnih in poligonalnih porušnih ploskev, program Cobus-Larix.

Stabilnostna analiza je izvedena v skladu s SIST EN 1997-1, prevzet je projektni pristop 3, slednji predpisuje naslednje parcialne faktorje za vplive, parametre zemljin in odpore:

- faktorji za stalne vplive; $\gamma_{G,dst}=1.0$; za spremenljive vplive $\gamma_{G,stb}=1.30$
- faktor za odpornost; $\gamma_{R;c}=1.4$
- faktorji za parametre zemljin; $\gamma'_{(c,\varphi)}=1.25$

Izdelan je karakteristični modeli za analiziranja z upoštevanjem vidnih deformacij v cestišču. Za mejno stabilnost je predpostavljen faktor varnosti proti zdrsu $F<1.0$.

Prevzeti so naslednji vhodni podatki mehanskih lastnosti karakterističnih slojev iz rezultatov terenskih meritve podane v tabeli 6:

opis sloja	prost. teža γ (kN/m ³)	strižni kot ϕ (°)	kohezija c (kN/m ²)
hribina laporja	21.4	41.6	0
preperel lapor	19.2	34.5	0
gruščnat in preperel lapor z glino	18.7	33.4	0
glinasta zemljinata z preperino (CI)	18.7	25.0	5
glinasta zemljinata, sg-tgk (CI)	18.2-18.3	22.5-23.0	4-4.5

Tabela 6:

Iz rezultatov stabilnostne presoje lahko zaključim, da se je drsna ploskev formirala v vrhnjem sloju zasičenih glinastih zemljin nad preperelo in kompaktno hribino, minimalni faktor varnosti $F=0.97$.

Upoštevani vhodni podatki, konfiguracijo obdelanega pobočnega profila, lega vodostaja ter kritična drsna ploskev z rezultati faktorjev varnosti so podani v poglavju 2.3.

3.0 ZASNOVA SANACIJE

Za sanacijo plazu pod javno potjo je glede na stanje površja ter ugotovljene geotehnične in stabilnostne razmere ter globino hribinske podlage predvidena izvedba podporne konstrukcije katere model predstavlja pilotna stena. Piloti so povezani z vezno gredo.

Tlorisno je podpora pilotna stena poteka po južnem zunanjem robu ceste dolžine 31 m, v dolžini 151.3 m se obnovi voziščna konstrukcija z asfaltiranjem in ureditvijo odvodnjavanja ter zavarovanje levega roba nasipne brežine.

3.1 Geostatična analiza konstrukcije- pilotna stena

Za določitev osnovnih elementov oporne pilotne konstrukcije zavarovanje je izvedena geostatična analiza z metodo mejnih ravnovesnih stanj za mejno stanje nosilnosti MSN, program Cobus-Larix-5, version 2.01 z upoštevanimi mehanskimi lastnostmi zemeljskega polprostora točka 2.4.3. Analiza je izvedena za karakteristični prerez P5 v skladu z SIST EN 1997-1 za prevzet projektni pristop 2 (DA2). Slednji predpisuje naslednje parcialne faktorje za vplive, parametre zemljin in odpore.

- faktorji za vplive: $\gamma_{G;dst}=1.35$
- $\gamma_{G;dst}=1.35$ (za aktivni zem. pritisk)
- $\gamma_{G;stb}=1.00$ (teža zemljine pred steno)
- faktor za odpor
- $\gamma_{R,e}=1.4$ (za pasivni zem. pritisk)
- faktorji za parametre zemljin
- $\gamma=1.00$

Rezultati analize so podani v poglavju 2.1.3, vrednosti notranjih sil v konstrukcijah:

- piloti premera 80 cm /1.5 m

$$M_{\max} = 396,51 \text{ kNm/m}$$

$$Q_{\max} = 341,93 \text{ kN/m}$$

$$\text{maksimalni pomik } D_x = 52,34 \text{ mm}$$

3.1.1 Piloti

- vzdolžna armatura

$$M_{Ed} = 396,51 \times 1,5 \times 1,25 = 734,45 \text{ kNm/m}$$

Z interakcijsko analizo- diagramom je za glavno armaturo 12φ26, S500 $A_{a,\text{dej}} = 73,92 \text{ cm}^2$, določena dovoljena faktorirano obremenitev $M_u = 805 \text{ kNm/m}' > M_{\max} = 734,45 \text{ kNm/m}'$

- strižna armatura

$$V_{sd} = 341,93 \times 1,5 \times 1,25 = 641,12 \text{ kN}$$

celotno strižno silo prevzame armatura:

$$V_{Rd} = \frac{A_{sw}}{s} \cdot z \cdot f_{ywd} \cdot \cot \theta$$

izberem stremena S500 φ 12/20 cm (dvojno strižno streme $A_{sw} = 2 \times 1,13 \text{ cm}^2$, $\cot \theta = 1.20$)

$$V_{Rd} = 2 \cdot 1,13 \cdot 0,9 \cdot 0,980 \cdot 65 \cdot 1,20 / 1,15 / 0,20 = 676,0 \text{ kN}$$

$$V_{sd} < V_{Rd} \text{ (ustreza)}$$

3.1.2 Vezna greda

Za dimenzioniranje vezne grede je upoštevan kriterij minimalnega procenta armiranja $A_s = 0,3\% \cdot A_b$

$$A_s = 0,3\% \cdot A_b$$

$$A_s = 0,003 \cdot 90 \cdot 100 = 27,0 \text{ cm}^2$$

Izberem: glavno armaturo S 500; 14 φ16 m'; $A_{a,\text{dej}} = 28,56 \text{ cm}^2$
stremena φ 12/25 cm

Piloti so dolžine 12.0 m v osnem razmiku 1.5 m.

4.0 SANACIJA PLAZU

Podporno konstrukcijo -pilotno steno sestavljajo uvrtni konzolno vpeti piloti premera 80 cm, dolžine 12.0 m v osnem razmiku 1.5 m. Piloti so temeljeni minimalno 3.0-3.5 m v preperelo in kompaktno lapornato hribino, skupaj je predvidenih 21 pilotov. Piloti so povezani z vezno gredo B/H= 90/100 cm, dolžina pilotne stene je 31.0 m.

Izkopi za pilote se izvedejo z garnituro za izkope teh s sprotnim cevljenjem kjer je pričakovati pojav omočenih con ter uporabo rotacijske tehnike. Te mora prevzeti

geomehanik, kateri bo vršil kontrolo vpenjanja z določitvijo končne globine izkopov glede na gostotni in strukturni sestav tal.

Piloti se izvedejo iz vodoneprepustnega betona C25/30 črpni d_{max} 16, armiran z armaturo S500 B. Piloti so armirani z glavno vzdolžno armaturo 12 ϕ 26 mm in spiralno armaturo ϕ 12 /20 cm. Piloti so povezani z vezno gredo iz vodoneprepustnega betona C25/30 XF4, XC2 (korozjsko in zmrzlinsko odporen), preseka b/h=90/100 cm armirani z glavno armaturo 14 ϕ 16 mm , stremena ϕ 12 / 25 cm. Zaščitni sloj betona je 5 cm.

Na temeljna tla pod vezno gredo se vgradi izravnalni sloj pustega betona C15/20 v debelini do 10 cm.

Pred izdelavo vezne grede je potrebno preveriti zveznost pilotov (PIT test). Kontrolira se 6 piloti (25 % števila pilotov).

Dilatacije vezne grede so predvidene v 2 kampadah (lomi vezne grede) dolžine med 10.50 do 11.75 m. Dilatacije se izdelajo iz trdnih penastih plošč, na vidnih straneh zatesnjene z tesnilno trajno elastično maso.

Opaži vidnega dela grede se izdelajo v kvalitetni izvedbi po tehnologiji izvajalca. V opaž vezne grede se v zgornji rob grede obojestransko vgradi trikotna lesena letev po celotni dolžini.

4.1 Gradbiščna cesta in delovni plato

Gradbiščna cesta in delovni plato za izvedbo pilotne stene je obstoječa javna pot.

4.2 Organizacija prometa med izvedbo

Sanacija plazu se izvaja delno ob polovični pretežno pa popolni zapori ceste. Zapora se uredi s postavitvijo predpisane dodatne signalizacije, obvestilnih tabel in ureditvijo obvoza.

4.6 Ravnanje z gradbenimi odpadki

Glede odpadkov, ki nastanejo pri gradnji, mora investitor zagotoviti, da izvajalci gradbenih del gradbene odpadke oddajo zbiralcu gradbenih odpadkov oz. morajo se upoštevati določbe Uredbe o ravnjanju z odpadki, ki nastanejo pri gradbenih delih (Ur. 1. RS 34/08). Tudi transport odpadkov mora biti primerno zavarovan.

5.0 KOLIČBENI PODATKI

Geodetski posnetek, ki je služil za projektiranje je vezan na državno koordinatno, višine so absolutne. Zakoličbo elementov sanacije je izvesti skladno z predvideno sanacijo v predvidenih odmikih, podatki so podani v tabeli gradbene situacije.

6.0 OBNOVA CESTE Z ASFALTIRANJEM

6.1 Tehnični podatki

Pri določanju vertikalnih in horizontalnih elementov smo upoštevali Pravilnik o projektiranju cest (Ur.l. R.:91/2005)

6.1.1 Vrsta in pomen ceste

Javna pot 702461 (Maček - Mulenca) je občinska javna cesta, ki povezuje naselja v Laškem in je povezava na javne ceste istih ali višjih kategorij. Obravnavana cesta spada med maloprometne ceste.

6.1.2 Projektna hitrost

Predvidena projektna hitrost na območju obnove ceste je 30 km/h.

6.1.3 Vertikalni in horizontalni potek

Zahtevani trasirni elementi po pravilniku o projektiranju cest (Ur.l. R.:91/2005)

Element	Doposten	Uporabljen
horizontalni radij R_{min}	$R = 45 \text{ m}$	$R = 25 \text{ m}$
vertikalni radij R_{konk}	$R_{konk} = 300 \text{ m}$	$R_{konk} = 125 \text{ m}$
vertikalni radij R_{konv}	$R_{konv} = 400 \text{ m}$	$R_{konv} = 300 \text{ m}$
dovoljeni maks. nagib nivelete q	$q = 15 \%$	$q = 9 \%$

Trasirni elementi po pravilniku o projektiranju cest niso v celoti upoštevani, saj se je bilo potrebno pri načrtovanju obnove voziščne konstrukcije v največji možni meri upoštevati prilagoditev obstoječi cesti.

6.1.4 Prečni prerez

- Berma	$1 \times 0,25 \text{ m}$	=	$0,25 \text{ m}$
- Asfaltna mulda	$1 \times 0,50 \text{ m}$	=	$0,50 \text{ m}$
- vozišče	$1 \times 2,50 \text{ m}$	=	$2,50 \text{ m}$
- bankina	$1 \times 0,50 \text{ m}$	=	$0,50 \text{ m}$
- SKUPAJ			$3,75 \text{ m}$

6.2 Opis projektnih rešitev

6.2.1 Potek in problematika rešitve

Na odseku javne poti 702461 (Maček - Mulenca) se je zaradi nestabilnega terena sprožil usad. Predviđa se obnova voziščne konstrukcije, za sanaciju usada pa se predviđa sanacija v obliku podporne konstrukcije. Uredi se tudi odvodnjavanje zalednih in meteornih vod. Odvodnjavanje se bo vršilo preko asfaltne mulde oz. disperzno na brežino pod cesto.

Na obeh mejah obdelave se rekonstruirana cesta naveže na obstoječe stanje tako vzdolžno kot niveletno, tako da se predvidi 4 cm rezkanje obstoječega asfalta. Na rezkano površino se nato izvede preplastitev s slojem novega asfalta.

6.2.2 Brežine

Nasipne in vkopane brežine cest in priključkov se izvedejo v nagibu 1:1.5. Brežine je potrebno takoj po izgradnji humusirati in zatraviti. V kolikor se v nadaljevanju izkaže, da je takšen nagib neustrezen, se le ta spremeni.

Zelenice oz. zatravljeni območja se izvedejo s humuziranjem v debelini d=15,0 cm.

6.2.3 Dimenzioniranje voziščne konstrukcije

Pri nosilnosti na planumu temeljnih tal CBR = 2.5 % in lahki prometni obremenitvi je za obnovo potrebna voziščna konstrukcija, ki mora biti zgrajena iz najmanj:

- 8 cm plasti asfaltnih zmesi in)
- 30 cm plasti nevezane zmesi kamnitih zrn.

Predlagamo naslednji postopek izdelave voziščne konstrukcije:

- 8 cm obrabno zaporne plasti bituminizirane zmesi AC 16 base B 50/70 A3
- 20 cm nevezane nosilno plasti kamnitega materiala D 32
- 32 cm zmrzlinsko obstojno posteljico D 60.
- ločilni geosintetik.

Na planumu posteljice mora biti zagotovljena nosilnost CBR = 15%, oziroma $E_{vd} > 40 \text{ MN/m}^2$ in na nivoju tampona pripravljenega za asfaltno prevleko $E_{vd} > 55 \text{ MN/m}^2$.

6.2.4 Odvodnjavanje

Odvodnjavanje bo v splošnem zagotovljeno s prečnimi in vzdolžnimi skloni, ki zagotavljajo, da voda čim hitreje odteče na rob vozišča. Kjer prečni skloni ne omogočajo razpršenega izpusta vode na pobočje pod cesto se voda iz vozišča odvaja preko asfaltne mulde in novih prepustov na teren pod cesto.

Za zagotovitev odvodnje meteornih vod iz pobočja nad cesto smo predvideli asfaltno muldo ob celotnem desnem robu vozišča. Odvodnja podzemnih vod se vrši s trdostensko DK drenažno cevjo premera 110 mm. Na primernih razdaljah so razporejeni tipski požirlniki premera 400 mm, preko katerih se s PVC prepusti premera 160 mm zbrana voda iz drenažnih cevi spelje na nižje ležeče pobočje pod cesto. Iztoki se tlakujejo z lomljencem v betonu. Iz požiralnika J1 se zbrana voda preko PVC cevi premera 200 mm spelje v jašek kanalizacijskega sistema sanacije nižje ležečega plazu, ki je obdelan v posebnem projektu.

6.3 Revizijski jaški in prepusti

- km 0,56.38; tipski požiralnik 400mm => prepust premera 200mm, L= 43m, jašek obstoječega kanalizacijskega sistema
- km 0,65.52; tipski požiralnik 400mm => prepust premera 160mm, L= 5m, z iztočno glavo, in tlakom iz lomljencu pod iztokom
- km 0,74.69; tipski požiralnik 400mm => prepust premera 160mm, L= 5m, z iztočno glavo, in tlakom iz lomljencu pod iztokom
- km 0,85.57; tipski požiralnik 400mm => prepust premera 160mm, L= 6m, z iztočno glavo, in tlakom iz lomljencu pod iztokom
- km 0,95.60; tipski požiralnik 400mm => prepust premera 160mm, L= 6m, z iztočno glavo, in tlakom iz lomljencu pod iztokom
- km 0,105.56; tipski požiralnik 400mm => prepust premera 160mm, L= 5m, z iztočno glavo, in tlakom iz lomljencu pod iztokom
- km 0,115.21; tipski požiralnik 400mm => prepust premera 160mm, L= 6m, z iztočno glavo, in tlakom iz lomljencu pod iztokom
- km 0,125.17; tipski požiralnik 400mm => prepust premera 160mm, L= 7m, z iztočno glavo, in tlakom iz lomljencu pod iztokom

6.4 Priključki

- v km 0+23,50 levo, priključek k nadstrešku,
- v km 0+48,20 levo, priključek k stan. objektu,

6.4.1 Križanja z obstoječo komunalno in energetsko infrastrukturo

Kjer vozišče prečka oz. se približa komunalnim ali energetskim vodom bodo le-ti ustrezno zavarovani oz. bo predvidena prestavitev le-teh, kar bo obdelano v posebnem načrtu.

6.4.2 Objekti

Dodatna zavarovanja nasipnega roba ceste se od zahodnega roba- zaključka pilotne stene se izvede s kamnito peto- suho kamnito zložbo dolžine 27.30 m, v globino 1.0 m pod spodnjim ustrojem ceste, širine v peti 0.8 m, naklon izkopne brežine 3:1.

6.4.3 Prometna oprema in signalizacija

V AB vezno gredo pilotne stene se vgradi sidrana jeklena varnostna ograja JVO N2W6 s polkrožno in poševno zaključnico dolžine 4.0 m, skupne dolžine 32.0 m.

6.4.4 Začasna prometna ureditev

V projektantskem predračunu so predvideni tudi stroški začasne prometne ureditve. Ocenujemo, da bo v času rekonstrukcije ceste potrebna polovična zapora ceste zato je pred izvedbo potreбno izdelati Elaborat začasne prometne ureditve.

6.5 Pogoji izvedbe

6.5.1 Preddela

Preddela bodo poleg zakoličevalnih del zajemala tudi rušenje obstoječega vozišča, posek grmovja in drevja (čiščenje terena).

Zakoličbo osi, ki je bila izvršena že za potrebe posnetka prečnih profilov tega projekta, je potrebno ponovno izvesti iz poligonskih točk operativnega poligona.

V tej fazi je potrebno poskrbeti za potrebne prekinitev ter začasne in trajne preureditve obstoječih komunalnih in energetskih vodov tako, da bo območje izvajanja gradbenih del sproščeno. Ta dela se izvajajo po pogojih in ob nadzoru strokovnih služb upravljalcev teh vodov.

6.5.2 Rušitve

Rušitve konstrukcijskih objektov niso predvidene.

Lastniku nepremičnine manjšega gospodarskega objekta ob trasi ceste kateri je konstrukcijsko tako poškodovan in je na meji porušitve predlagamo, da ga poruši.

6.5.3 Zemeljska dela

Začasne plitve izkope (do globine 2 m) je potrebno v zemljinah izvajati v naklonu največ 1:1, globlje izkope pa je potrebno v zemljinah izvajati v naklonu največ 1:1.5 in jih zaščititi pred erozijskimi procesi.

Trajne naklone vkopanih ali nasutih brežin je potrebno v zemljinah izvajati v razmerju največ 1:1.5.

6.5.4 Voziščna konstrukcija

Dimenziije voziščne konstrukcije so bile predhodno že podane.

Izvajalec mora dosegati zahtevano kvaliteto proizvedenih in vgrajenih materialov ter izpolnjevati zahtevane pogoje delovnih in tehnoloških postopkov, predpisane z zadevnimi standardi in TSC za voziščne konstrukcije. Pri tem je potrebno za nosilne plasti dosegati kriterije kvalitete za prometno obremenitev, kot je določena.

Izvajalec mora dosegati zahtevano kvaliteto proizvedenih in vgrajenih materialov ter izpolnjevati zahtevane pogoje delovnih in tehnoloških postopkov, predpisane z zadevnimi standardi in TSC za voziščne konstrukcije. Pri tem je potrebno za nosilne plasti dosegati kriterije kvalitete za prometno obremenitev, kot je določena za posamezno cesto.

Med izvajanjem gradbenih del je obvezno sodelovanje geomehanika, ki bo sproti podajal potrebna dodatna navodila za izvedbo del.

6.6 Zakoličba

Spošno: uporabljen je državni koordinatni sistem D96 in SVS 2010 datum KOPER
Poligonske točke: Poligonske točke niso zavarovane

Točke zakoličbe so prikazane v tabelah v gradbeni situaciji.

7.0 DEPONIJE

Izkopni material se deponira na trajni deponiji. Za deponiranje mora izvajalec del pridobit potrebna soglasja upravljalca.

8.0 RAVNANJE Z GRADBENI ODPADKI

Glede odpadkov, ki nastanejo pri gradnji, mora investitor zagotoviti, da izvajalci gradbenih del gradbene odpadke oddajo zbiralcu gradbenih odpadkov oz. morajo se upoštevati določbe Uredbe o ravnanju z odpadki, ki nastanejo pri gradbenih delih (Ur. 1. RS 34/08). Tudi transport odpadkov mora biti primerno zavarovan.

9.0 ZAKLJUČKI

Dela je izvajati skladno s tehnično dokumentacijo, kvaliteta vgrajenega materiala mora v vseh kvalitetnih parametrih ustreznati veljavnim predpisom in standardom.

Pri izvajanju sanacijskih del je obvezna prisotnost projektantskega in geomehanskega nadzora, kateri bo ugotavljal dejansko stanje ter podajal eventualna potrebna nadaljna navodila glede na razmere v času izvede ter projektne rešitve sanacije.

10.0 ANALIZA UPOŠTEVANJA VPLIVA PODNEBNIH SPREMEMB

10.1 Vhodni podatki

Predvidena življenska doba je 30 let, zato se pri preveritvi prepusta upošteva naraščanje ekstremnih padavin za sredino stoletja, to je za leto 2050.

Podatki o ekstremnih padavinah so pridobljeni s spletnne strani ARSO in sicer za merilno postajo Celje, obdobje 1970-2012:

http://meteo.ars.si/uploads/probase/www/climate/table/sl/by_variable/return-periods/Celje.pdf

10.1.1 Ocena sprememb kratkotrajnih nalivov za Slovenijo (ARSO)

Na osnovi publikacije Ocena podnebnih sprememb v Sloveniji do konca 21. stoletja in prevzetih podatkov ocene sprememb kratkotrajnih nalivov za občino Celje, avgust 2019 sta prevzeta scenarija RCP 4.5 in RCP 8.5.

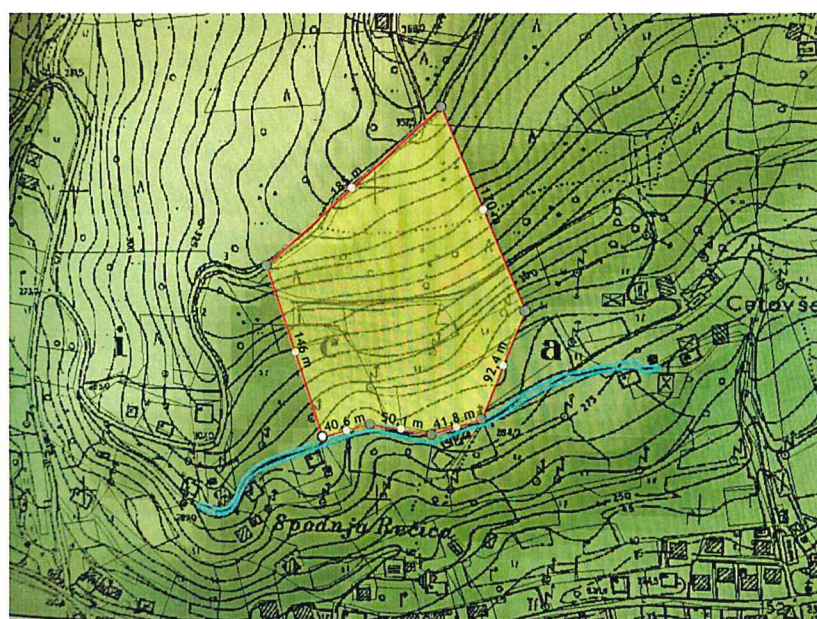
10.1.1 Ocena sprememb kratkotrajnih nalivov za Slovenijo (ARSO)

Na osnovi publikacije Ocena podnebnih sprememb v Sloveniji do konca 21. stoletja in prevzetih podatkov ocene sprememb kratkotrajnih nalivov za občino Celje, avgust 2019 sta prevzeta scenarija RCP 4.5 in RCP 8.5.

Za obravnavano območje je glede na majno poseljenost prevzeti scenarij RCP 8.5 iz katerega povzamem povprečno povečanje za 30%.

10.2 Prispevne površine

V slikah 1 in 2 je prikazano vplivno območje obnove ceste, vir Atlas okolja. Prispevna površina je velikosti 338,65 arov.



slika 1



slika 2

Obravnavano- vplivno območje reliefno predstavlja dokaj položno do srednje strmo dokaj enakomernega pobočje travnih in gozdnih površin na severnem območju.

Površinsko cestno odvodnjavanje bo urejeno v asfaltnih muldah v zalednem delu ceste z vtočnimi jaški in cevnimi izpusti DN 160, skupaj 8 kom.

Prispevne površine so travne, gozdne in asfaltne, skupna površina je 34314 m² od tega je 40% gozdov, 48.5% travnatih površin in 1 .5 % asfaltnih površin.

Poleg tega je v odvisnosti od naklona brežine pri izračunu upoštevan tudi odtočni koeficient in hitrost odtoka vode po brežini.

Upoštevani odtočni koeficient φ (%) glede na obliko površine in naklon terena za gozdne površine z naklonom 10-30%, φ= 0,35
za travnate površine z naklonom 10-30%, φ= 0,40
za asfaltne površine, φ= 0,90

10.3 Izračun prepusta

Za preračun količine meteornih voda, ki bodo dovedene v kanal prepusta so upoštevani podatki za merilno postajo Celje.

Vrednost za 100 letno povratno dobo:

T min	P danes		P2050 (RCP4.5)		P2050 (RCP8.5)	
	mm	l/s (ha)	mm	l/s (ha)	mm	l/s (ha)
15	36	397	41	456	45	501
30	53	335	61	385	65	424
120	80	126	92	121	93	133
1440	139	18	160	21	176	23

Izračun: $Q = q_{rač} \cdot \varphi \cdot F$

Q.... velikost odtoka

q_{rač} jakost računskega naliva (l/s/ha)

F prispevna površina (ha)

φ odtočni koeficient (%)

Q_{100} , za 15 min naliv

Prispevne površine	F (ha)	φ (%)	$q_{rač,15 \text{ min}}$ (l/s ha)	Q (l/s)
travnik	1,37	0,40	397	217,6
gozd	1,66	0,35	397	230,7
cesta	0,04	0,90	397	14,3
SKUPAJ				462,6

Q_{100} , za 30 min naliv

Prispevne površine	F (ha)	φ (%)	$q_{rač,15\text{ min}}$ (l/s ha)	Q (l/s)
travnik	1,37	0,40	335	183,6
gozd	1,66	0,35	335	194,6
cesta	0,04	0,9	335	12,1
SKUPAJ				390,3

Povečanje padavin za 30 %

 Q_{100} , za 15 min naliv

Prispevne površine	F (ha)	φ (%)	$q_{rač,15\text{ min}}$ (l/s ha)	Q (l/s)
travnik	1,37	0,40	501	274,6
gozd	1,66	0,35	501	291,1
cesta	0,04	0,9	501	18,0
SKUPAJ				583,7

 Q_{100} , za 30 min naliv

Prispevne površine	F (ha)	φ (%)	$q_{rač,15\text{ min}}$ (l/s ha)	Q (l/s)
travnik	1,37	0,40	424	232,4
gozd	1,66	0,35	424	246,3
cesta	0,04	0,9	424	15,3
SKUPAJ				494,0

Izračun prevodnosti enega prepusta je določena po obrazcu:

$$Q = \frac{\sqrt{I}}{n_g} \cdot D^{8/3} \cdot a \quad (\text{m}^3/\text{s})$$

pri normalnem toku in 70% polni cevi ter padcu

Upoštevani podatki:

 $I = 0,090$... vzdolžni padec $n_g = 0,011$... koeficient hrapavosti $D = 0,16 \text{ m}$... premer cevi $a = 0,261$... koeficient za 70% polno cev

$$Q = \frac{\sqrt{0,090}}{0,011} \cdot 0,160^{8/3} \cdot 0,261 = 0,0975 \text{ m}^3/\text{s} = 97,5 \text{ l/s} \times 8 = 780 \text{ l/s}$$

10.4 Zaključek

Na osnovi izračuna je vidno, da predvideni izpusti $\phi 160 \text{ mm}$ zadostuje kriterijem za današnje zahteve ter oceni sprememb kratkotrajnih nalivov z 30% povečanjem padavin in 70% polnitvi.

Maribor, november 2024

Sestavil:

Danilo Muhič, dipl.inž.grad.

2.3 Stabilnostna in geostatična presoja

Resistance factor (1)

Name	LS 1 [-]	LS 2 [-]	LS 3 [-]	Serviceability [-]	global [-]
Prestressed anchor		1,00	1,00		1,00
Shear resistance		1,30	1,30		1,00
Soil reinforcement element		1,00	1,00		1,00
Friction angle $\gamma_{M\phi}$		1,25	1,25		1,00
Cohesion γ_{Mc}		1,25	1,25		1,00

Analysis parameters (1)

Name	LS 1	LS 2	LS 3	Serviceability	global	
Partial safety factor ultimate resistance	1,000	1,000		1,400	-	

Actions (1)

Name	Type	Set	LS Type 1		LS Type 2		LS Type 3		ψ -Factors
			γ [-]	γ_{inf} [-]	γ [-]	γ_{inf} [-]	γ [-]	γ_{inf} [-]	
Dead load	permanent		1,10	0,90	1,35	0,80	1,00	1,00	

LS Type 1 : Limit state type 1
 LS Type 2 : Limit state type 2
 LS Type 3 : Limit state type 3
 ψ -Factors : Reduction factors

Actions (2)

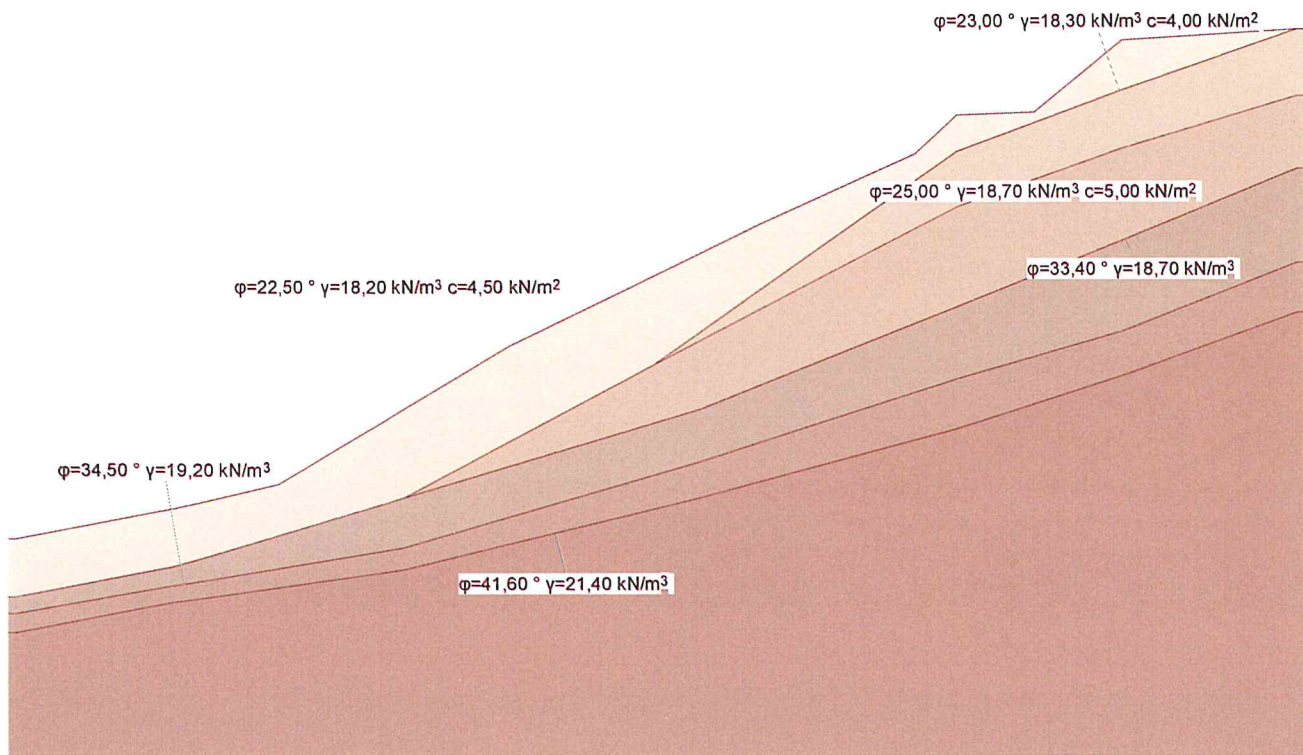
Name	ψ -Factors			u
	ψ_1 [-]	ψ_2 [-]	ψ_1' [-]	
Dead load				Yes

ψ -Factors : Reduction factors
 u : Action is used

Nr.:

Geotechnical model

Scale 1 :273,2 (0.00,6.00..46.40,36.00)



GEOTECHNICAL MODEL

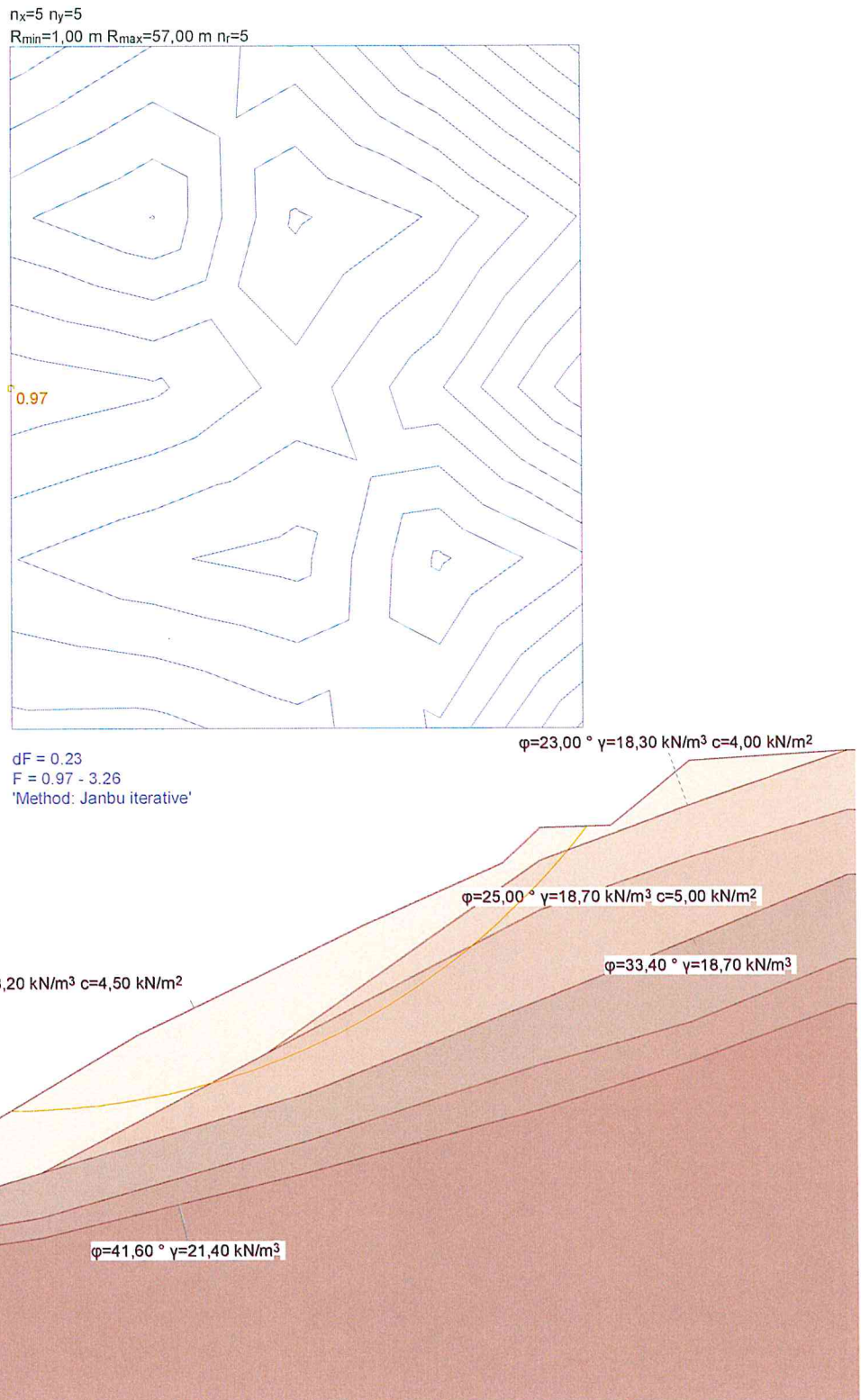
Soil layer boundaries

Description	Parameters			Point	x [m]	y [m]	Polygon points			
	ϕ [°]	γ [kN/m ³]	c [kN/m ²]				Point	x [m]	y [m]	
	22,50	18,20	4,50	1	0,00	13,60	2	5,60	14,70	
				3	9,40	15,60	4	17,80	20,60	
				5	26,90	25,00	6	32,50	27,50	
				7	34,00	28,90	8	36,80	29,00	
				9	40,00	31,60	10	46,40	32,00	
	23,00	18,30	4,00	1	0,00	11,50	2	5,60	12,60	
				3	14,00	15,10	4	23,00	19,90	
				5	34,00	27,60	6	40,00	29,80	
				7	46,40	32,00				
	25,00	18,70	5,00	1	0,00	11,50	2	5,60	12,60	
				3	14,00	15,10	4	23,00	19,90	
				5	34,00	25,60	6	40,00	27,70	
				7	46,40	29,60				
	33,40	18,70	0	1	0,00	11,50	2	5,60	12,60	
				3	14,00	15,10	4	24,70	18,30	
				5	34,00	22,00	6	40,00	24,40	
				7	46,40	27,00				
	34,50	19,20	0	1	0,00	10,90	2	5,60	11,90	
				3	14,00	13,30	4	24,70	16,40	
				5	34,00	19,40	6	40,00	21,10	
				7	46,40	23,60				
	41,60	21,40	0	1	0,00	10,20	2	5,60	11,30	
				3	14,00	12,50	4	24,70	15,10	
				5	34,00	17,60	6	40,00	19,50	
				7	46,40	21,80				

Nr.:

!ULS type 3, AC 1
Critical slip surface

Scale 1 :273,2 (0.00,6.00..46.40,65.00)



Nr.:

!ULS type 3, AC 1

Slip circle with minimum safety

Circle No.	x [m]	y [m]	R [m]	point of constraint	Anchor	F _{ex} [-]	L _{req} [m]	L _{min} [m]	Remark see footnotes	
53	12,84	46,60	29,00			0,97			1)	

F_{ex} : existing safety, required safety F_{req} = 1.00

L_{req} : calculated required free anchor length between L_{min} - L_{max}

L_{min} : input minimum free anchor length

Nr.:

Resistance factor (1)

Name	LS 1 [-]	LS 2 [-]	LS 3 [-]	Serviceability [-]	global [-]
Earth resistance closed wall		1,40		1,00	1,50
Earth resistance open wall		1,40		1,00	2,00
Flexural stiffness EI		1,10		1,00	1,00
Modulus of subgrade reaction ksh		1,50		1,00	1,50

Analysis parameters (1)

Name	LS 1	LS 2	LS 3	Serviceability	global	
Part due to earth pressure at rest	0			1,000	0	-
Minimum earth pressure		5,000		0	0	kN/m ²
Factor of earth pressure redistribution					1,300	-
Hydraulic failure $\gamma_{G,inf}$	0,900					-
Hydraulic failure $\gamma_{G,sup}$	1,600					-
Hydraulic failure $\gamma_{R,HG}$					2,000	-
Model factor of horizontal equilibrium		1,500		1,500	1,500	-
Enlargement fact. for section forces γ_L					1,500	-
Factor for internal pile resistance η_i		1,000			1,000	-

Analysis options (1)

Name	LS 1	LS 2	LS 3	Serviceability	global
Active wall friction angle		Yes		Yes	Yes
passive wall friction angle		Yes		Yes	Yes

Actions (1)

Name	Type	Set	LS Type 1		LS Type 2		LS Type 3		ψ -Factors
			γ [-]	γ_{inf} [-]	γ [-]	γ_{inf} [-]	γ [-]	γ_{inf} [-]	
Dead load	permanent		1,10	0,90	1,35	0,80	1,00	1,00	
Live load	variable		1,50		1,50		1,30		
Earth pressure permanent	permanent		1,35	0,80	1,35	0,70	1,00	1,00	0,70

LS Type 1 : Limit state type 1

LS Type 2 : Limit state type 2

LS Type 3 : Limit state type 3

ψ -Factors : Reduction factors

Actions (2)

Name	ψ_1 [-]	ψ_2 [-]	ψ_1' [-]	u
Dead load				Yes
Live load	0,70	0,70	1,00	Yes
Earth pressure permanent				Yes

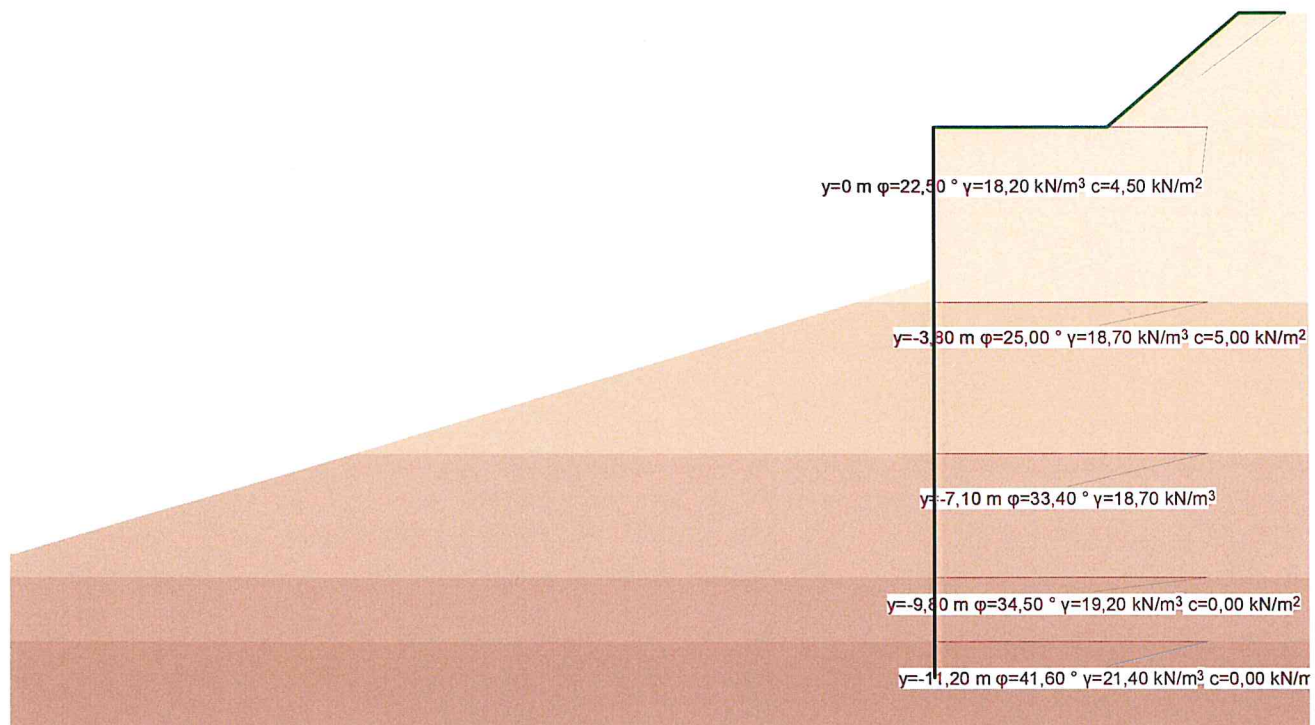
ψ -Factors : Reduction factors

u : Action is used

Nr.:

Geotechnical model (System)

Scale 1 :164,9 (-20.00,-13.00..8.00,5.00)



SYSTEM

Excavation support walls

Wall type	δ_a	δ_p	Top of wall x [m]	y [m]	Inclination α [°]	
Closed	0, 67	-0, 50	0	0	0	

δ_a : Active wall friction angle as fraction of soil friction angle for determining the active earth pressure coefficients
 δ_p : Passive wall friction angle as fraction of soil friction angle for determining the earth resistance coefficients

Wall system cross section, secant pile wall

Description	Materials, stiffness			Geometry	Value	Unit
	Value	Unit	Description			
Concrete	C25/30		Pile spacing a_p		1, 50	[m]
Reinforcing steel	S500		Pile diameter d_p		0, 80	[m]
Bending stiffness EI	511032	[kNm ² /m]	Distance to edge a_{RP}		50, 0	[mm]
min reinforcement content ρ_{min}	0, 50	[%]				

Concrete

Material class	$-f_{ck,cyl}$ [N/mm ²]	E_{cm} [kN/mm ²]	f_{ctm} [N/mm ²]	τ_{Rd} [N/mm ²]	$f_{ck,cube}$ [N/mm ²]	
C25/30	-25, 0	30, 5	2, 6	0, 3	30, 0	

Reinforcement steel

Material class	$-f_{yk}$ [N/mm ²]	E_s [kN/mm ²]	f_{yk} [N/mm ²]	ε_{uk} [%]	f_{ik} [N/mm ²]	
S500	-500, 0	200, 0	500, 0	20, 0	500, 0	

Nr.:

Ground surface

Level y [m]	d_{x1} [m]	Variation d_{x2} [m]	d_{y1} [m]	Description	Vertical surcharge Action	p [kN/m ²]	As e. pr.	
0	3,80	2,90	2,50			0	No	

As e. pr. : Earth pressure due to surcharge treated as usual earth pressure (redistribution, min. earth pressure, load factor)

Soil layers

Description	Level y [m]	ϕ [°]	γ [kN/m ³]	c_a [kN/m ²]	c_p [kN/m ²]	k [m/s]	γ' [kN/m ³]	K_{ah} [-]	K_{oh} [-]	K_{ph} [-]
	0	22,50	18,20	4,50						
	-3,80	25,00	18,70	5,00						
	-7,10	33,40	18,70	0,00						
	-9,80	34,50	19,20	0,00						
	-11,20	41,60	21,40	0,00						

c_a : Cohesion of soil layer to determine earth pressure

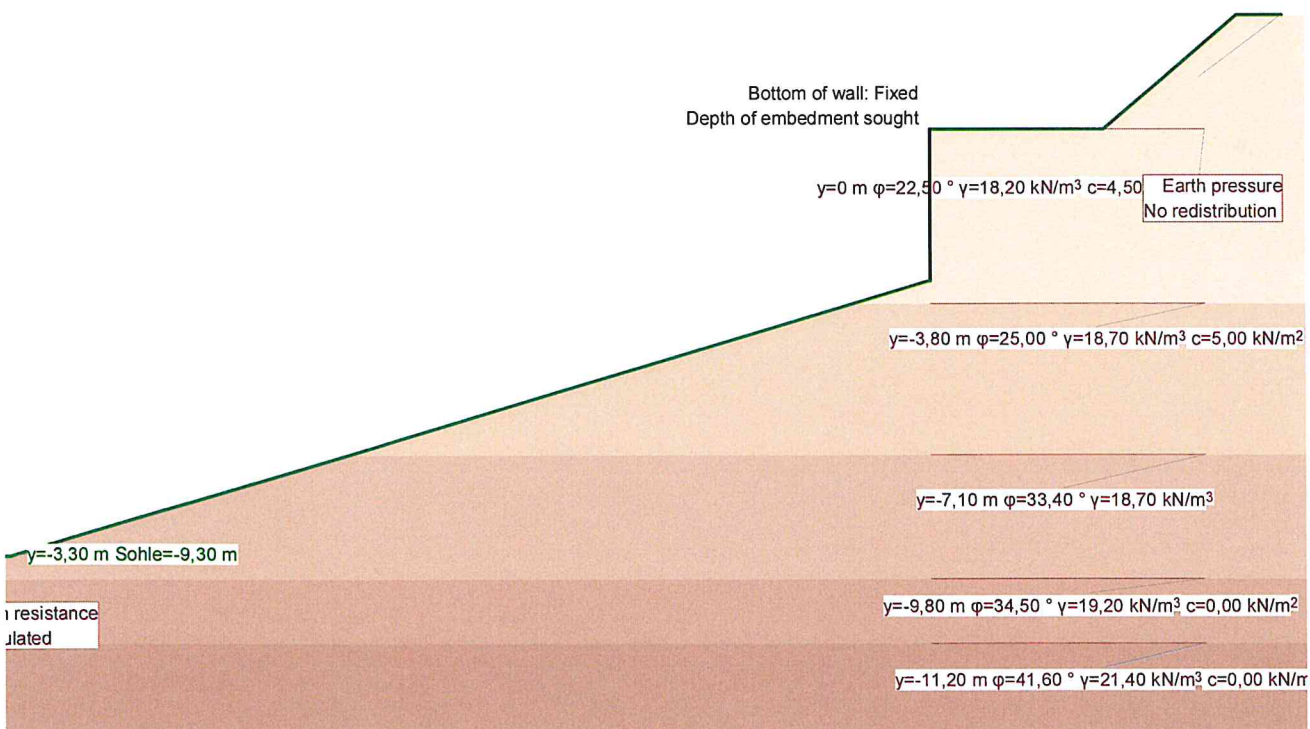
c_p : Cohesion of soil layer to determine earth resistance

k : Permeability of soil layer

γ' : Quayant unit weight of soil (without seepage force)

Geotechnical model (Stage)

Scale 1 :164,9 (-20.00,-13.00..8.00,5.00)



STAGE 1: Final state

Excavation support walls

Top of wall Support	t	Bottom of wall Support	
Free	sought	Fixed	

t : Depth of embedment relative to excavation base

Nr.:

Base of excavation

Level y [m]	d _{x1} [m]	Variation d _{x2} [m]	d _y [m]	Description	Vertical surcharge Action	p [kN/m ²]
-3, 30	20, 00	0, 05	6, 00			0

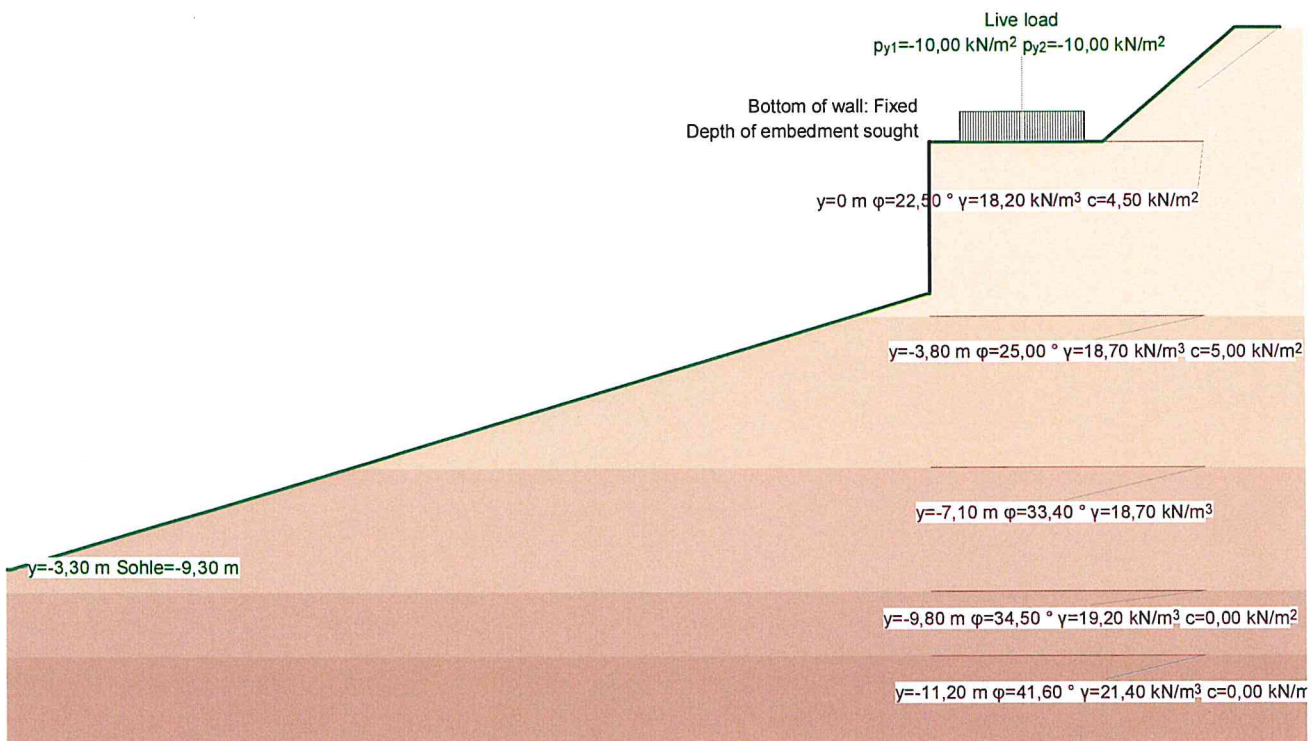
Earth resistance / earth pressure

Earth resistance	Earth pressure		Action
	Load factor	Redistribute	
Calculate	(1) EXL	None	Earth pressure permanent

(1) : Down to excavation level

Loads

Scale 1 :164,9 (-20.00,-13.00..8.00,5.00)



LOADS Stage 1: Final state

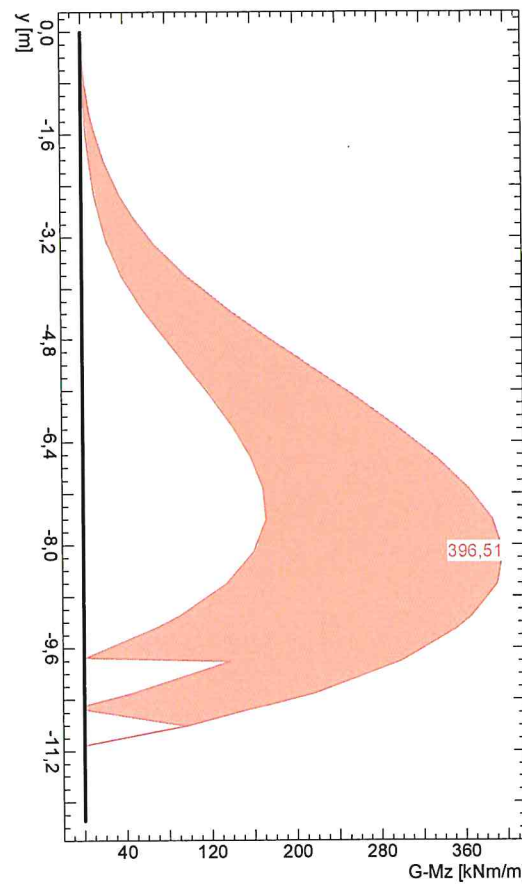
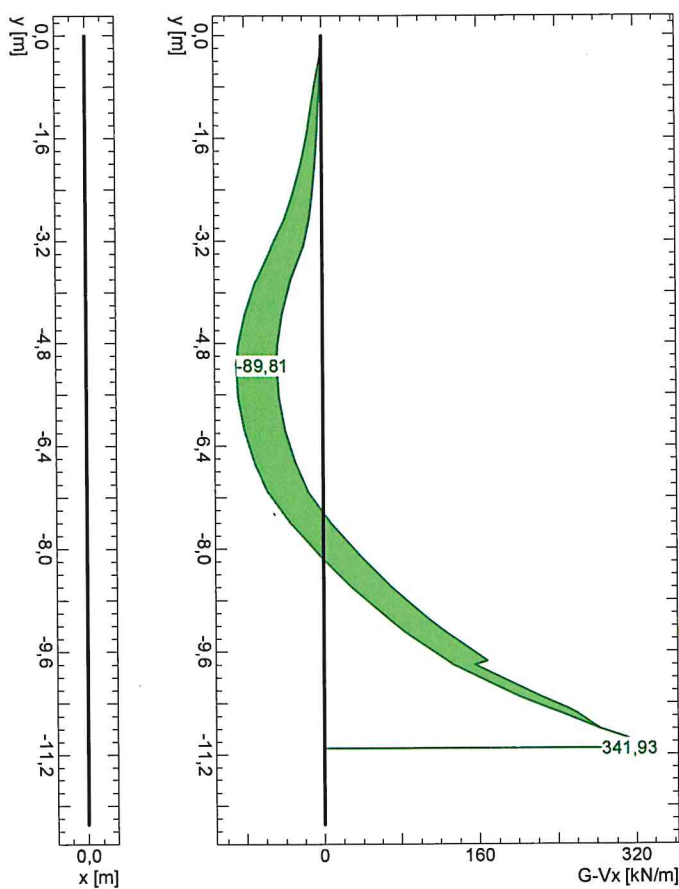
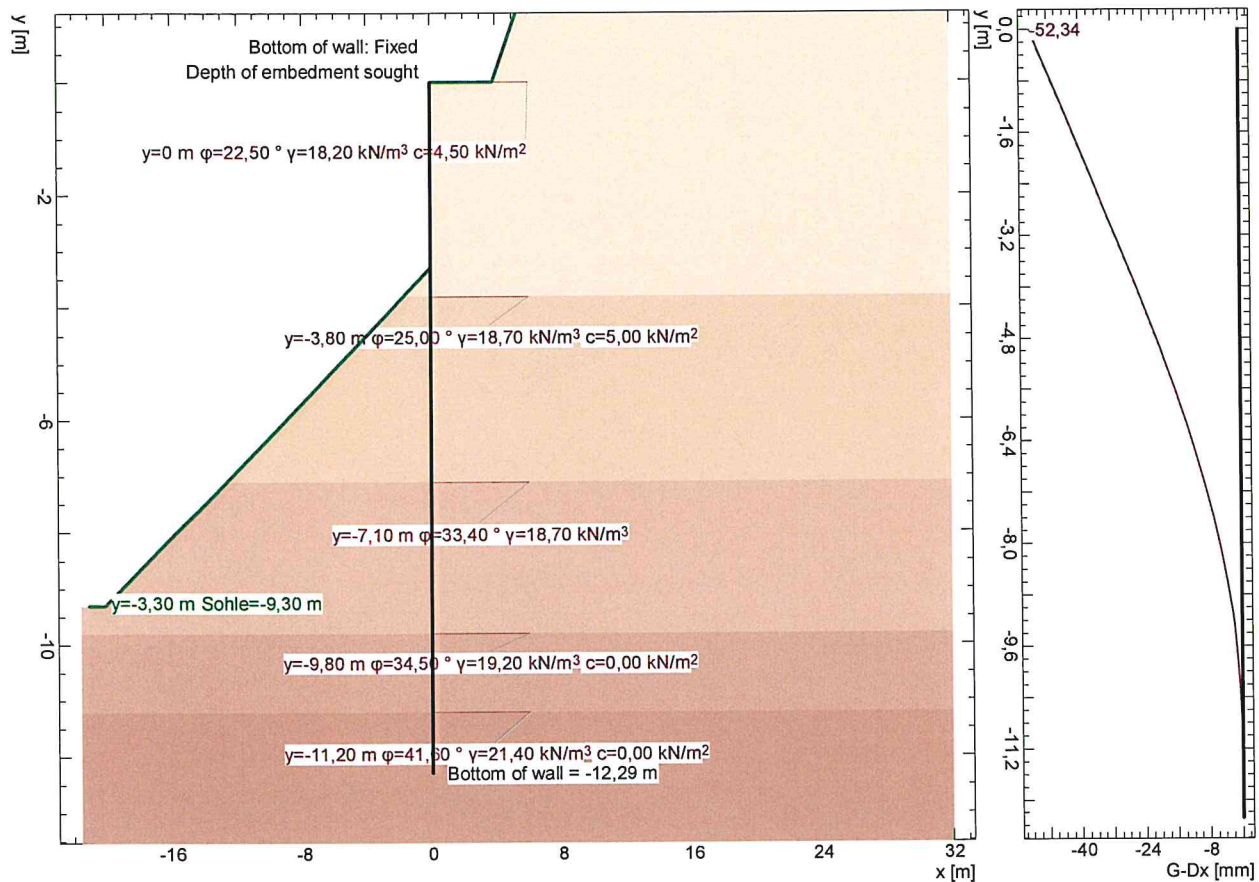
Distributed loads on soil

Description	Action	x ₁ [m]	y ₁ [m]	x ₂ [m]	y ₂ [m]	p ₁ [kN/m ²]	p ₂ [kN/m ²]	As e. pr.
Live load		0, 68	0	3, 38	0	-10, 00	-10, 00	No

As e. pr. : Excess earth pressure treated as usual earth pressure (redistribution, min. earth pressure, load factor)

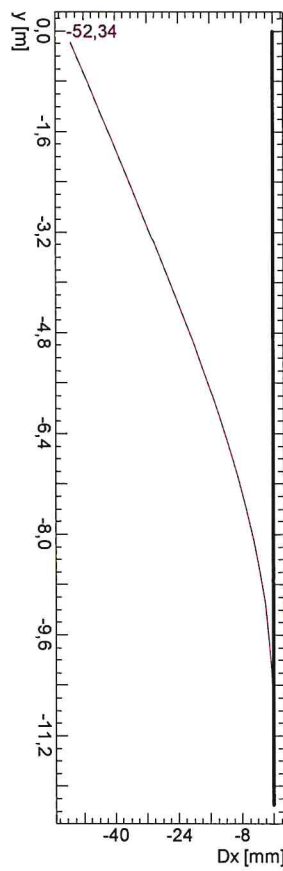
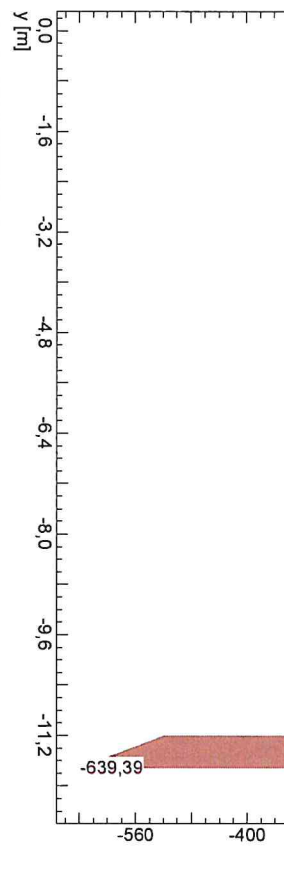
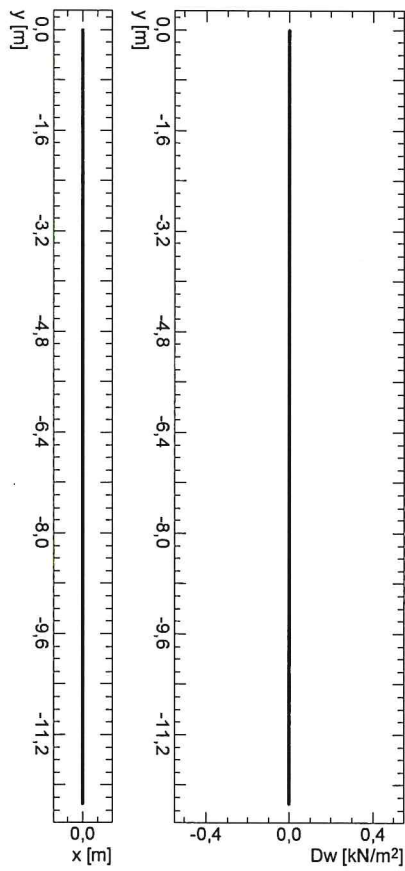
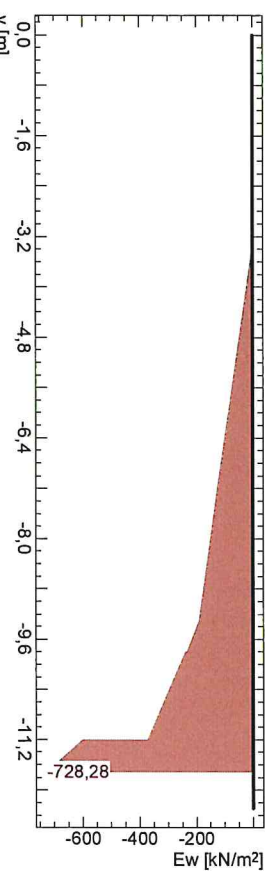
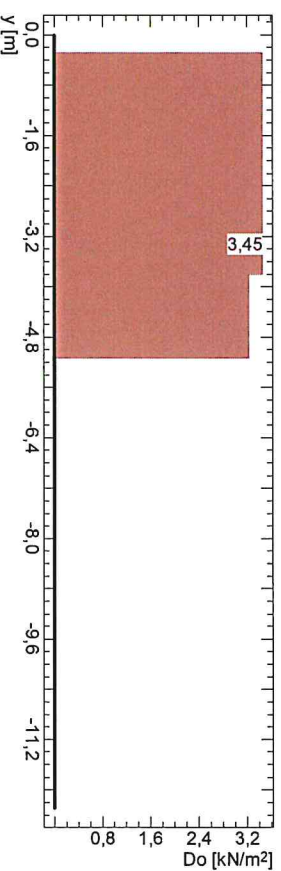
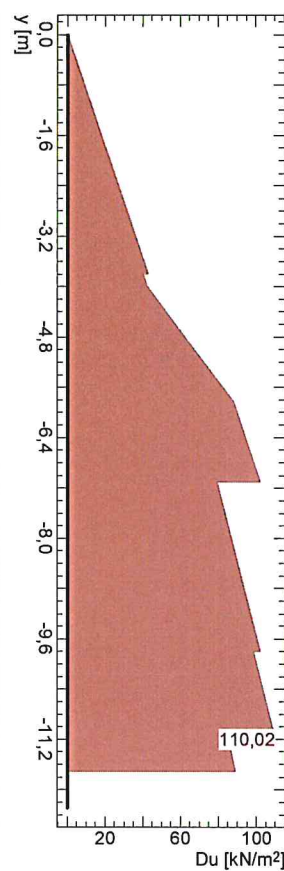
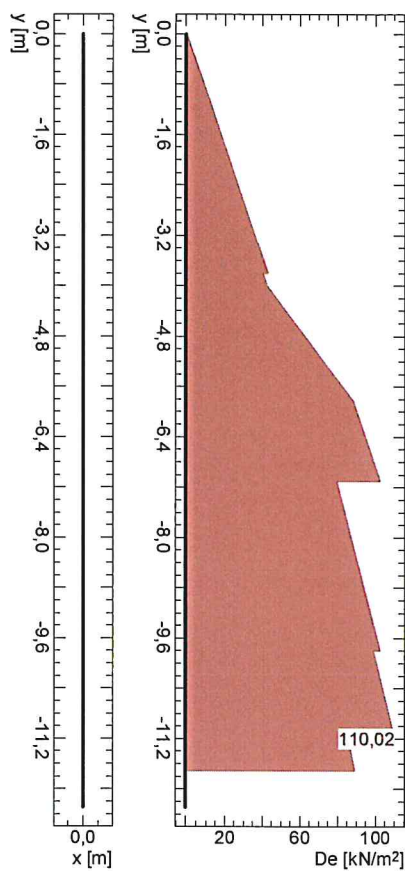
Nr.:

Limit state values



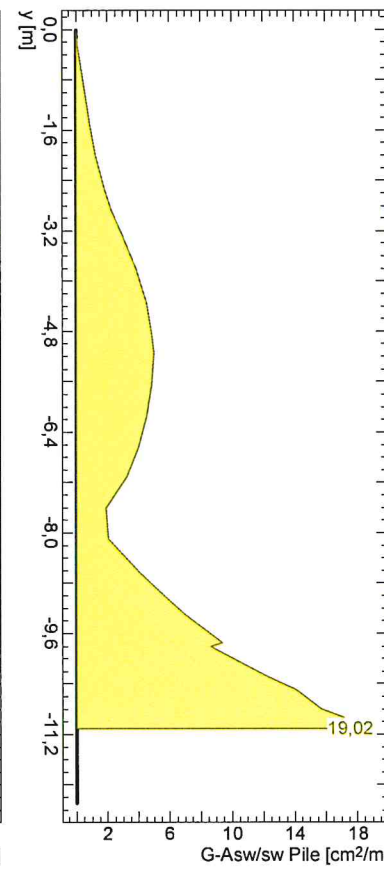
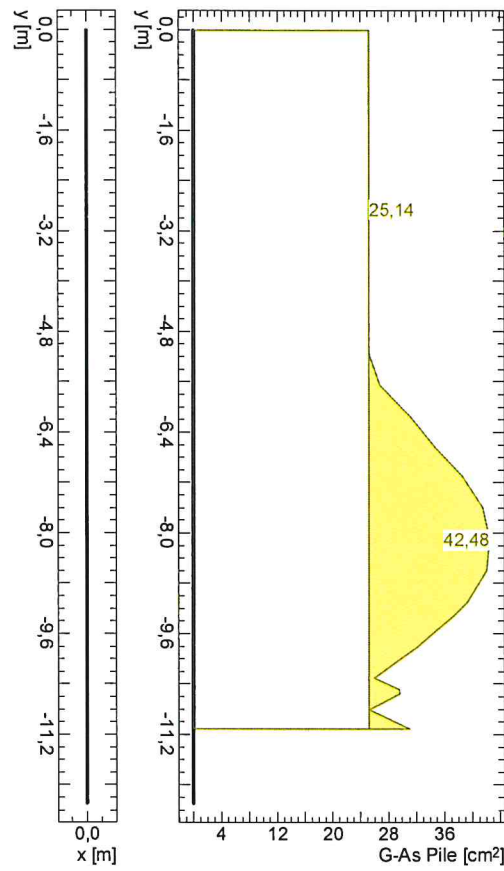
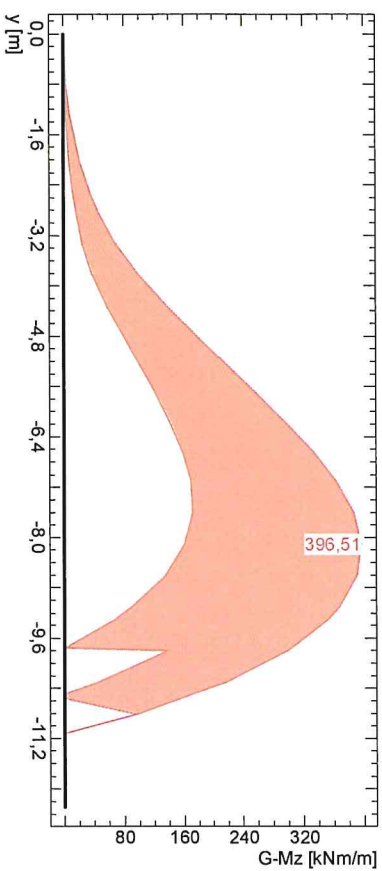
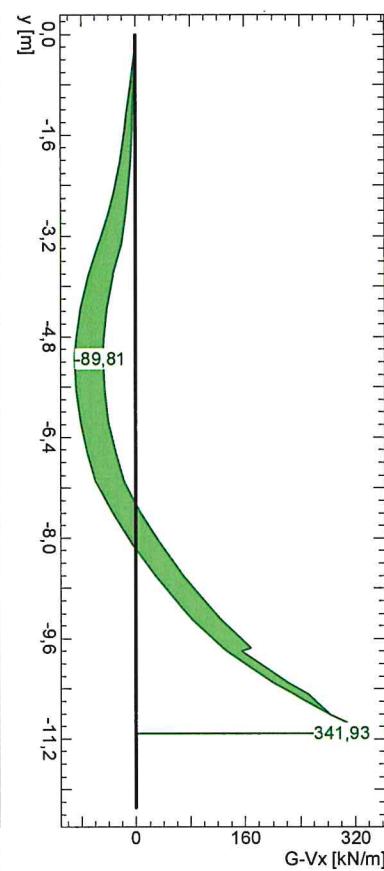
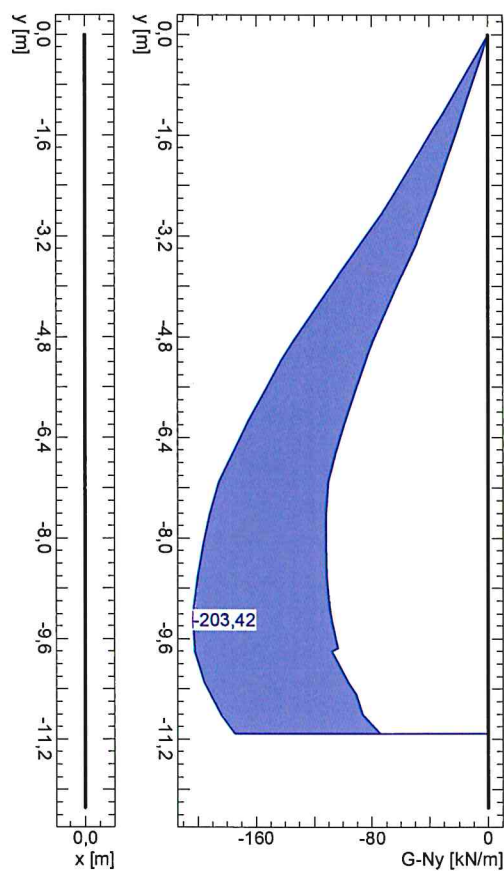
Nr.:

Stage 1 / !SLS occasional / AC 1, Pressures, Deformation



Nr.:

Limit values for secant pile wall



Nr.:

Job Title Plaz pod JP Macek- Mulenca
Client Obcina Laško

General

Design code: Eurocode 2
Analysis: Failure surface

Loads: N , M_x

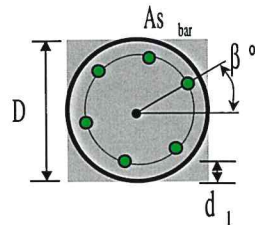
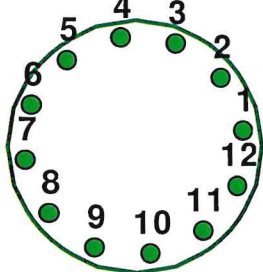
$N > 0$ is compression !

Section

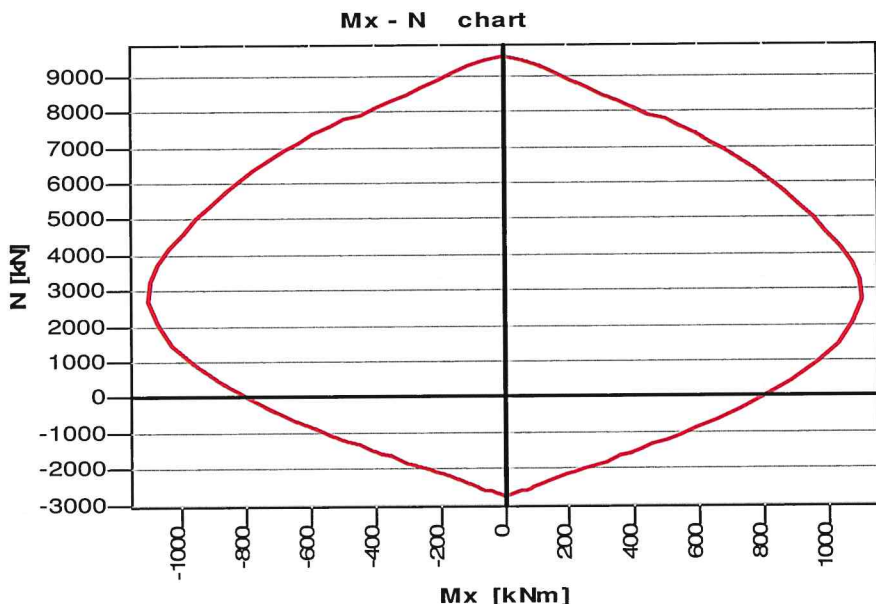
Data [cm]

D = 80

d1 = 5



Results



Materials

Concrete: C25/30
SSR: Parabolic - linear

Reinforcing steel: S500
SSR: Standard

```

fck = 25.00 MPa
Ec = 30471.58 MPa
ec2u = -3.500 o/o
ec2 = -2.000 o/o
n = 2.00

```

$f_yk = 500.00 \text{ MPa}$
 $E_s = 200000.00 \text{ MPa}$
 $\epsilon_{su} = 10.000 \text{ o/o}$

Factors

Concrete: gama_c = 1.50
Steel: gama_s = 1.15



Reinforcement

Bars =12
beta = 8.00 deg
As,bar =5.3cm²

Solve data

II order moments: No

Section properties

Reinforcement :

As,tot = 63.60 cm²

Concrete section:

Ac = 5017.37 cm²
Ic,x = 2003281.74 cm⁴
Ic,y = 2003281.74 cm⁴

R/C section:

Ared = 5371.20 cm²
Ired,x = 2220007.64 cm⁴
Ired,y = 2220007.64 cm⁴
rx = 20.33 cm
ry = 20.33 cm

2.4 Popis del in projektantski predračun

POPIS DEL IN PREDIZMERE

SANACIJA PLAZU					
Šifra	OPIS DEL	Enota	Količina	Cena/e	Vrednost
1.0	PREDDELA				
1.1	Zakoličba karakterističnih točk pilotov, postavitev in zavarovanje prečnih profilov	m	31,00	0,00	0,00
1.2	Transport garniture za izkop pilotov fi 60 cm na gradbišče, organizacija delovišča in lokalnimi premiki na posamezne pilote	pav	1,00	0,00	0,00
	PREDDELA SKUPAJ				0,00
2.0	ZEMELJSKA DELA IN TEMELJENJE				
2.1	Izkop zemlje II.-III. ktg. za izvedbo kamnite pete in vezne grede pilotne stene z nakladanjem, odvozom in deponiranjem materiala v trajni deponiji	m3	32,10	0,00	0,00
2.2	Izkopi za pilote z garnituro za izkop pilotov fi 60 cm v težki zemljini	m'	194,50	0,00	0,00
2.3	Izkopi za pilote z garnituro za izkop pilotov fi 60 cm v preperini in mehki hribini	m'	68,00	0,00	0,00
2.4	Nakladanje in odvoz zemeljin izkopov za pilote z deponiranjem v trajni deponiji	m3	152,00	0,00	0,00
2.5	Dobava in vgrajevanje kamnitih blokov volumna 0,1-0,6 m ³ v kamnita peto (suha zložba)	m3	24,60	0,00	0,00
	ZEMELJSKA DELA IN TEMELJENJE SKUPAJ				0,00
3.0	GRADBENA IN OBRTNIŠKA DELA				
3.1	Dobava in vgradnja naklonskega podbetona C 10/15, debeline 10 cm in 20 cm pod vezno gredo	m3	3,50	0,00	0,00
3.2	Izdelava dvostranskega vezanega opaža vezne grede in zidu višine do 1 m	m2	63,40	0,00	0,00
3.3	Priprava in postavitev rebrastih žic iz visokovrednega jekla B500 B za srednje zahtevno ojačitev, piloti in vezna greda	kg	17.866,60	0,00	0,00
3.4	Priprava in vgraditev vodonepropustnega cementnega betona C 25/30 na kontraktorski način v pilote	m3	126,60	0,00	0,00

Šifra	OPIS DEL	Enota	Količina	Cena/e	Vrednost
3.5	Priprava in vgraditev mešanice vodonepropustnega cementnega betona C 25/30 XF4, XC4, XD3 v vezno gredo	m3	24,80	0,00	0,00
3.6	Odstranitev odvečnega betona z vrha pilotov s kompresorjem	m3	2,00	0,00	0,00
3.7	Izdelava stika med kampadami grede - dilatacijske rege vključno s trdo penasto ploščo, notranjim tesnilnim trakom, penasto gumo in tesnilnim materialom (2 kom)	m	3,60	0,00	0,00
GRADBENA IN OBRTNIŠKA DELA					0,00
4.0	OPREMA CESTIŠČA				
4.1	Dobavo in vgradnja sidrane jeklene varnostne ograje JVO N2W6 stebri na 4 m s polkrožno in poševno zaključnico dolžine 4,0 m	m'	32,00	0,00	0,00
Oprema cestišča skupaj					0,00
SKUPAJ EUR					0,00

OBNOVA CESTE Z ASFALTIRANJEM						
1.0	PREDDELA					
1.1	Obnova in zavarovanje zakoličbe osi trase ostale javne ceste v hribovitem terenu.	km	0,13	0,00	0,00	
1.2	Zakoličba prečnih profilov z zavarovanjem izven trase	kos	10,00	0,00	0,00	
1.3	Obnova in zavarovanje zakoličbe trase ostale javne ceste - končno zakoličenje	km	0,13	0,00	0,00	
1.4	Rezkanje in odvoz asfaltne krovne plasti v debelini do 3 cm	m2	9,00	0,00	0,00	
1.5	Rezanje asfaltne plasti s talno diamantno žago, debele 6 do 10 cm	m1	3,00	0,00	0,00	
1.6	Odstranitev grmovja in žive meje na redko porasli površini (do 50 % pokritega tlora) - strojno	m2	150,00	0,00	0,00	
1.7	Odstranitev dreves z debli premera 30 do 50 cm ter odstranitev vej z odvozom na deponijo	kos	3,00	0,00	0,00	
1.8	Odstranitev panjev premera 30 do 50 cm ter odstranitev vej z odvozom na deponijo	kos	3,00	0,00	0,00	

Šifra	OPIS DEL	Enota	Količina	Cena/e	Vrednost
1.9	Porušitev in odstranitev prepustov iz cevi premera do 60 cm vključno z odvozom na trajno deponijo	m	6,00	0,00	0,00
2.0	Porušitev in odstranitev glave prepustov vključno z odvozom na trajno deponijo	kos	1,00	0,00	0,00
2.1	Porušitev in odstranitev betonskih jaškov vključno z odvozom na deponijo	kos	1,00	0,00	0,00
2.2	Organizacija gradbišča, vključno s postavitvijo začasnih objektov.	kos	1,00	0,00	0,00
2.3	Organizacija gradbišča, vključno z odstranitvijo začasnih objektov.	kos	1,00	0,00	0,00
2.4	Zavarovanje gradbišča v času gradnje z delno zaporo prometa.	dni	30,00	0,00	0,00
PREDDELA SKUPAJ					0,00
2.0	ZEMELJSKA DELA				
2.1	Površinski izkop plodne zemljine -1. kategorije-strojno z odrivom na 50 m	m3	37,00	0,00	0,00
2.2	Širok izkop lahke zemljine in zrnate kamnine - 3. kategorije - strojno z nakladanjem	m3	357,00	0,00	0,00
2.3	Ureditev planuma temeljnih tal zrnate kamnine – 3. kategorije.	m2	512,00	0,00	0,00
2.4	Dobava in vgraditev geotekstilije z natezno trdnostjo 12 do 14 kn/m ²	m2	512,00	0,00	0,00
2.5	Vgraditev posteljice v debelini plasti do 35 cm iz zrnate kamnine - 3. kategorije	m3	187,00	0,00	0,00
2.6	Humuziranje brežine brez valjanja, v debelini d. Humus pridobljen iz začasne deponije	m2	246,00	0,00	0,00
2.7	Doplačilo za zatravitev s semenom	m2	246,00	0,00	0,00
ZEMELJSKA DELA SKUPAJ EUR					0,00
3.0	VOZIČNE KONSTRUKCIJE				
3.1	Izdelava nevezane nosilne plasti (tampon D32) enakomerno zrnatega drobljenca iz kamnine v debelini do 20 cm	m3	105,00	0,00	0,00
3.2	Izdelava nosilne plasti bituminizirane zmesi AC16 base B 50/70 A3 v debelini 8 cm (vključno z asfaltiranjem priključkov 14m ²)	m2	363,00	0,00	0,00

Šifra	OPIS DEL	Enota	Količina	Cena/e	Vrednost
3.3	Izdelava bankine iz gramoza ali naravno zdrobljenega kamnitega materiala, širine do 0,5 m	m3	9,00	0,00	0,00
	VOZIŠČNE KONSTRUKCIJE SKUPAJ EUR				0,00
4.0	ODVODNJAVANJE				
4.1	Tlakovanje jarkov z lomljencem d=20cm, stiki zapolnjeni s cementno maltona podložni plasti cementnega betona 10cm. (iztoki prepustov dim. 0,5 x 1,0m)	kos	7,00	0,00	0,00
4.2	Izdelava asfaltne mulde širine 50cm. (asfalt enek kot na vozišču)	m	128,00	0,00	0,00
4.3	Dobava in montaža tipskih požiralnikov na globini do 1,2m vključno z litoželezno rešetko. V ceno vključeno priprava posteljice in betonskega ležišča za jašek in priključek vtoka drenaže ter priključek za iztok iz jaška	kos	8,00	0,00	0,00
4.4	Izdelava vzdolžne drenaže, globoke do 1,0 m, na podložni plasti iz cementnega betona, s trdimi plastičnimi cevmi premera 110 mm	m1	128,00	0,00	0,00
4.5	Zasip cevne drenaže z zmesjo kamnitih zrn, do 0,4 m ³ /m1, po načrtu	m1	128,00	0,00	0,00
4.6	Izdelava izpusta iz jaškov krožnega prereza PVC cevi , vgrajenih na planumu izkopa, premera 160mm cm, v globini do 1,5 m, vključno z obbetoniranjem cevi (7 kom) izkopom in zasipom	m1	40,00	0,00	0,00
4.7	Izdelava izpusta iz jaška krožnega prereza iz PVC cevi , vgrajenih na planumu izkopa, premera 200mm, v globini do 1,5 m, vključno z obbetoniranjem cevi (v območju ceste), izkopom in zasipom	m1	43,00	0,00	0,00
4.8	Izdelava poševne betonske iztočne glavene iztoku PVC cevi premera 160mm	kos	7,00	0,00	0,00
	ODVODNJAVANJE SKUPAJ EUR				0,00
5.0	TUJE STORITVE				
5.1	Projektantski nadzor vseh del	ur	20,00	0,00	0,00

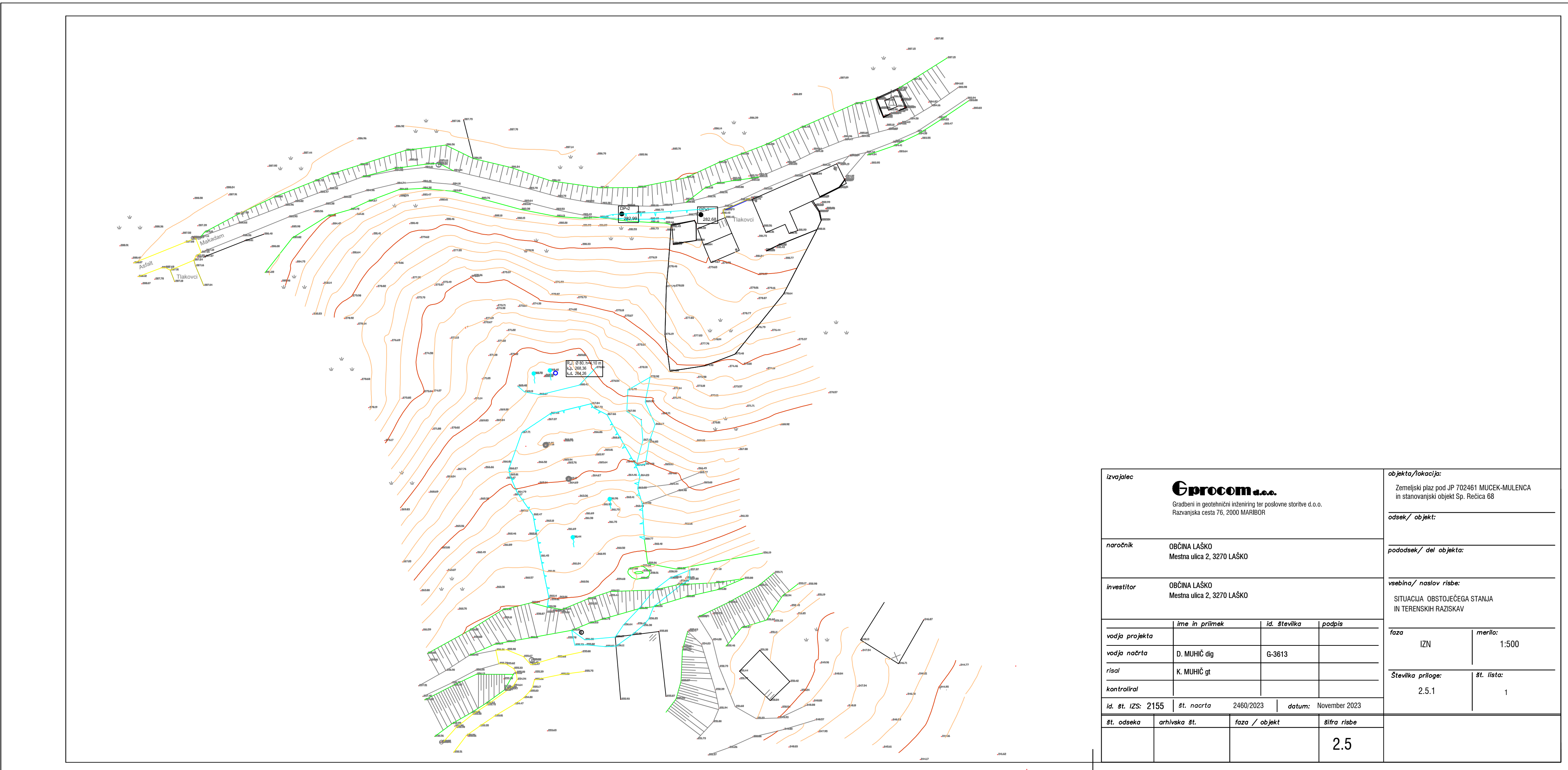
Šifra	OPIS DEL	Enota	Količina	Cena/e	Vrednost
5.2	Geotehnični nadzor pri temeljenju pilotov in izvedbe cestišča vključno z meritvami Evd ali Ev2	ur	30,00	0,00	0,00
5.3	Geodetski posnetek vseh izvedenih del	kos	1,00	0,00	0,00
5.4	Izdelava projektne dokumentacije za projekt izvedenih del	kos	1,00	0,00	0,00
5.5	Izdelava elaborata začasne prometne ureditve	kos	1,00	0,00	0,00
TUJE STORITVE SKUPAJ EUR					0,00

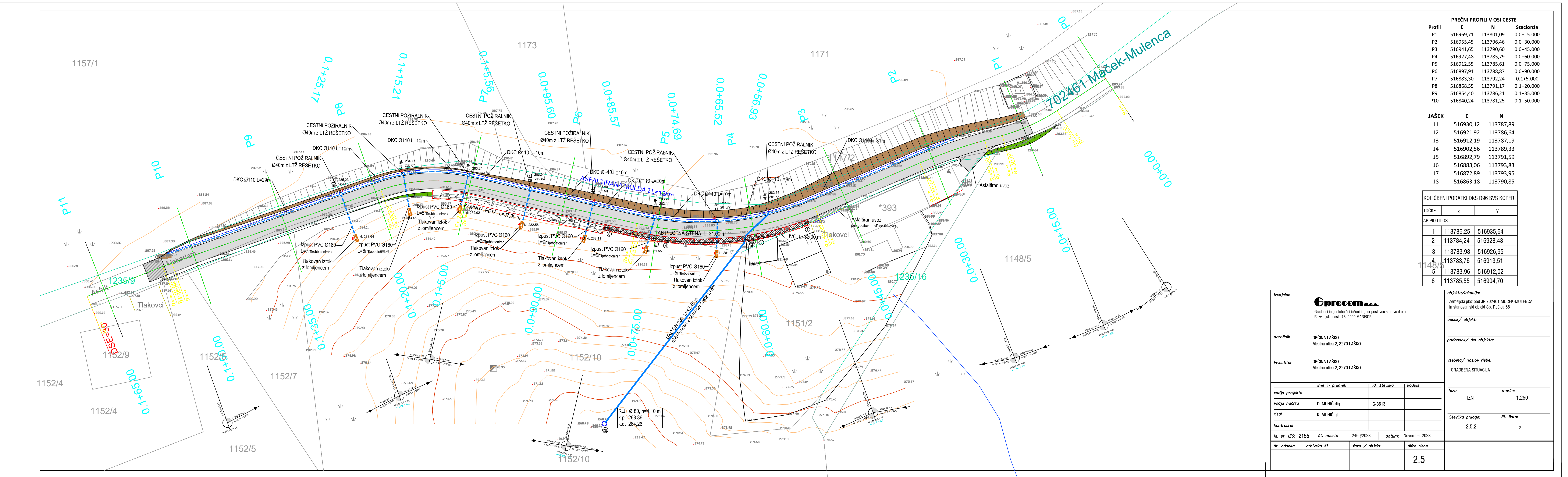
SKUPAJ EUR	0,00
-------------------	-------------

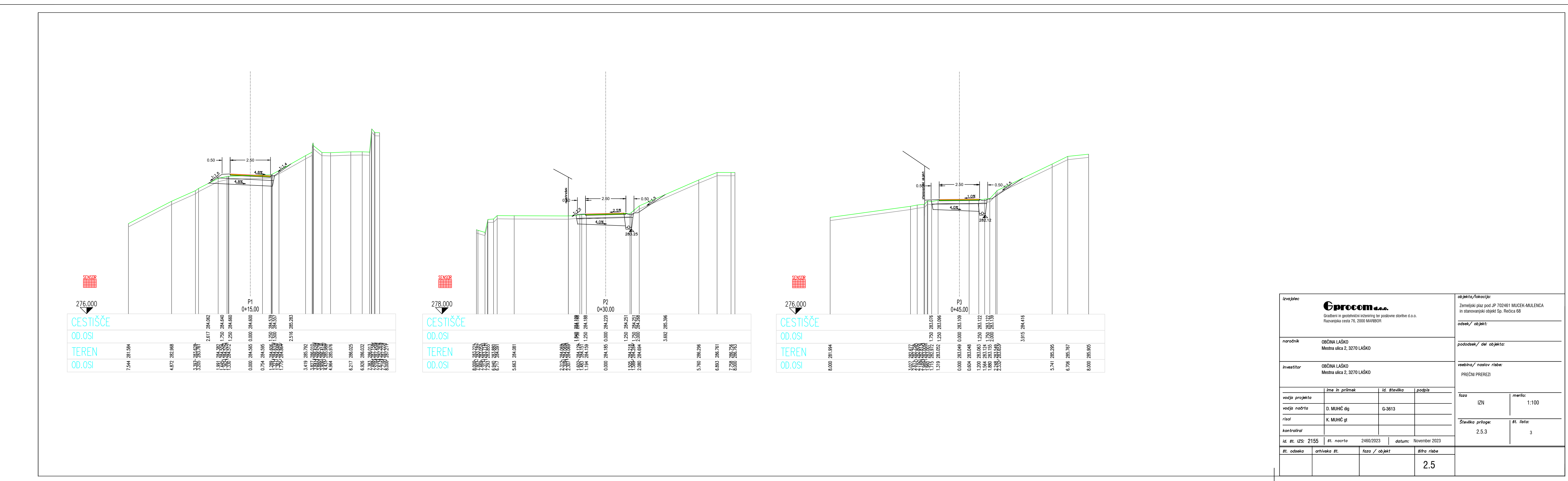
VSE SKUPAJ EUR	0,00
NEPREDVIDENA ALI VEČDELA	0,00
5% EUR	
SKUPAJ BREZ DDV:	0,00
DDV 22% EUR:	0,00
VREDNOST DEL EUR:	0,00

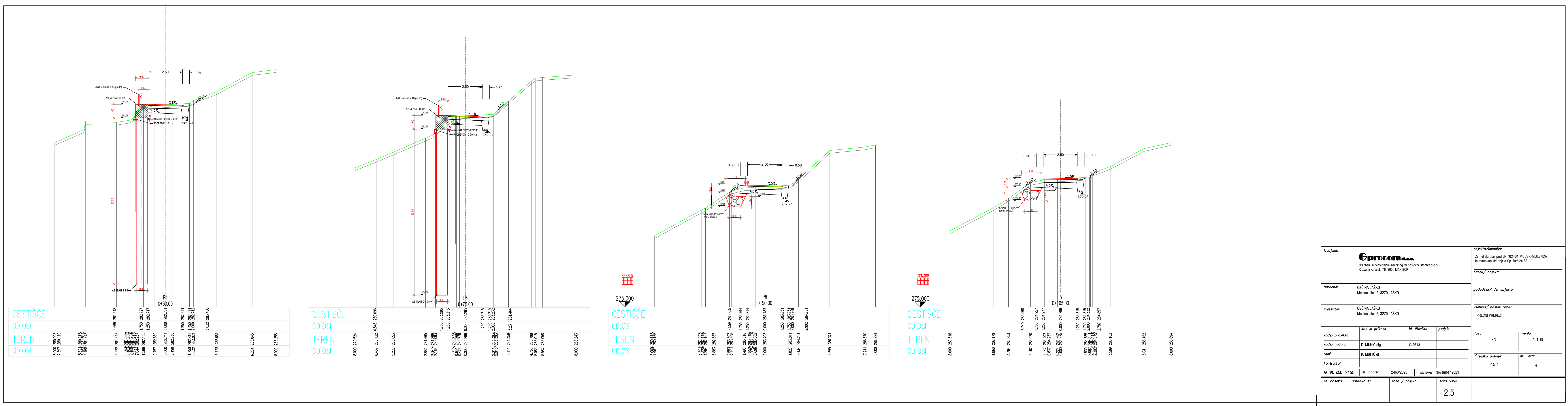
2.5 Risbe

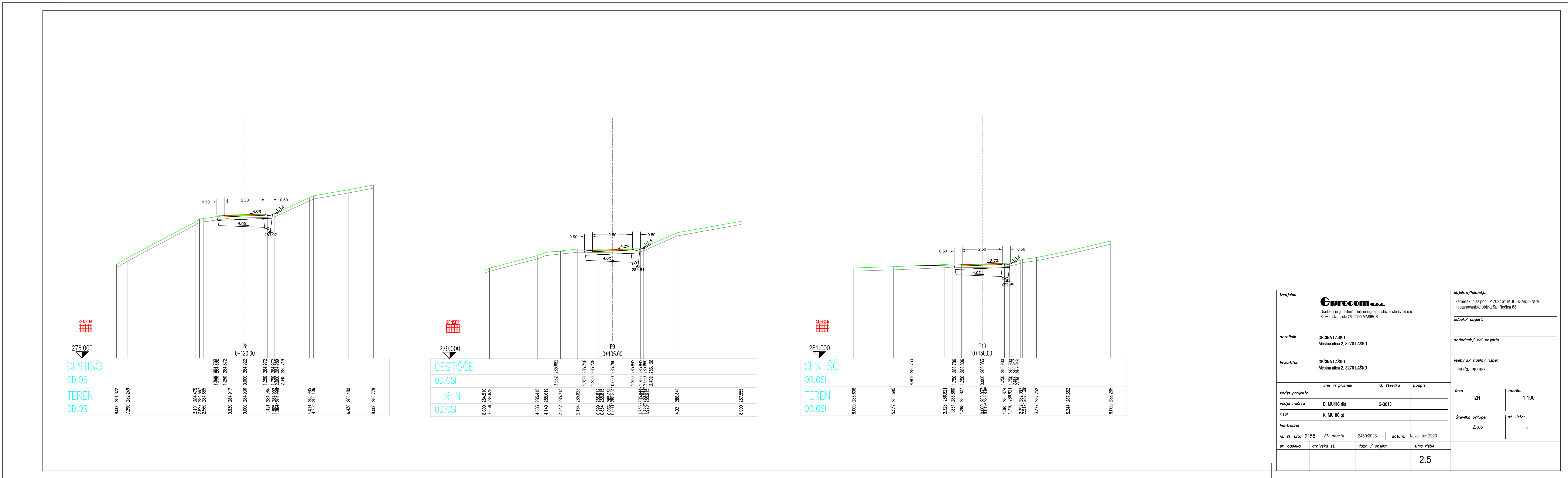
	Merilo	Št. prilog
SITUACIJA OBSTOJEČEGA STANJA IN TERENSKIH RAZISKAV	1:500	2.5.1
GRADBENA SITUACIJA	1:250	2.5.2
PREČNI PREREZI	1:100	2.5.3-2.5.5
KARAKTERISTIČNA PREREZA CESTE	1:50	2.5.6
VZDOLŽNI PREREZ CESTE	1:500/100	2.5.7
VZDOLŽNI PREREZ PILOTNE STENE	1:100	2.5.8
ARMATURNI NAČRT IN IZVLEČEK ARMATURE	1:50	2.5.9
REZULTATI MERITEV DP SOND		2.5.10

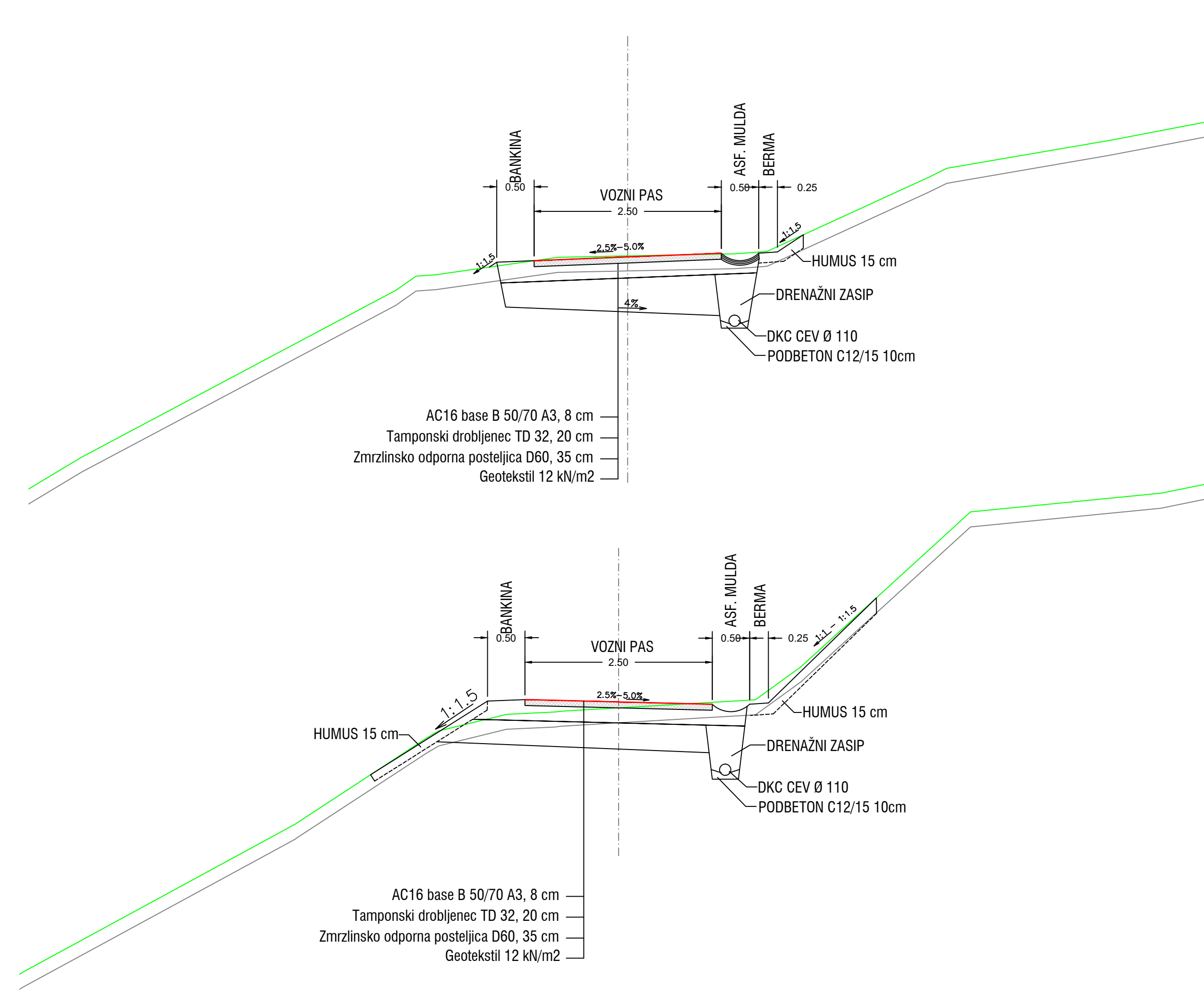




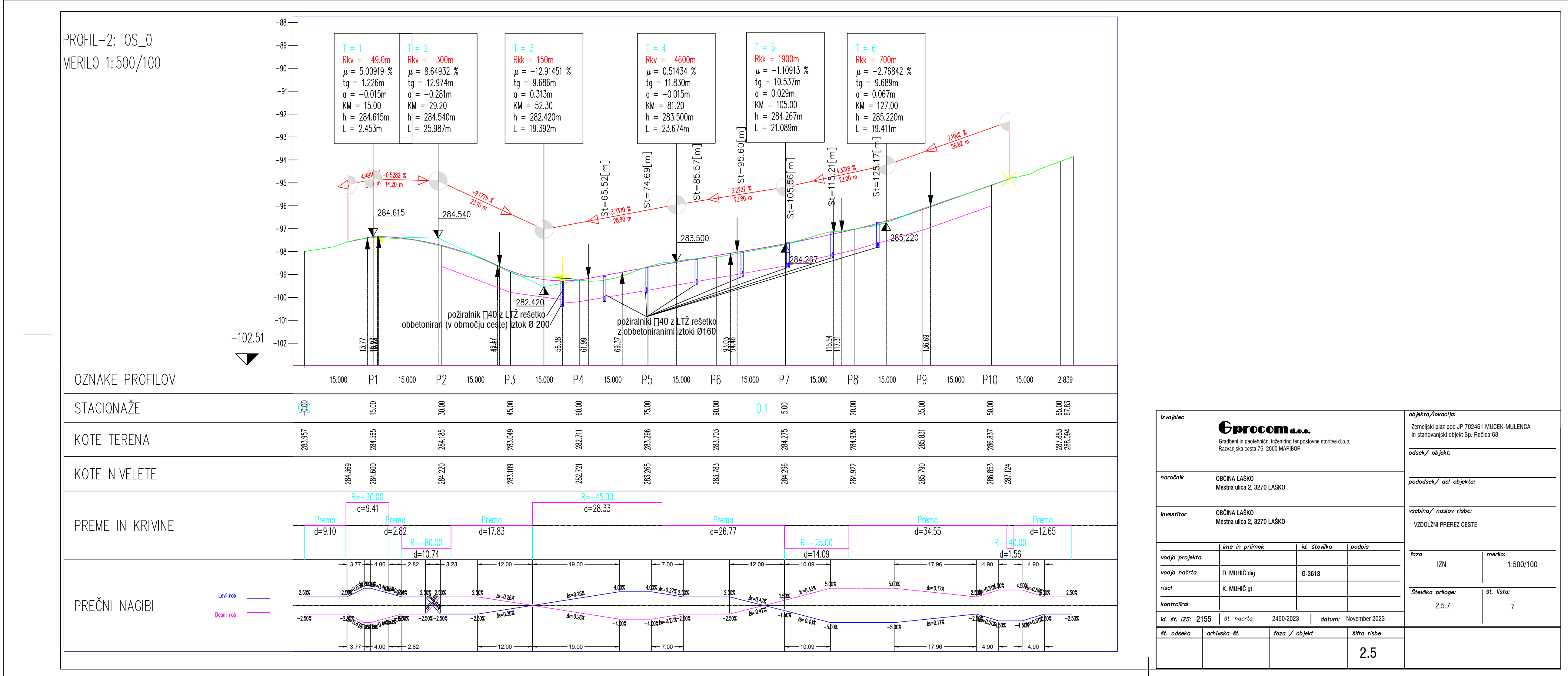


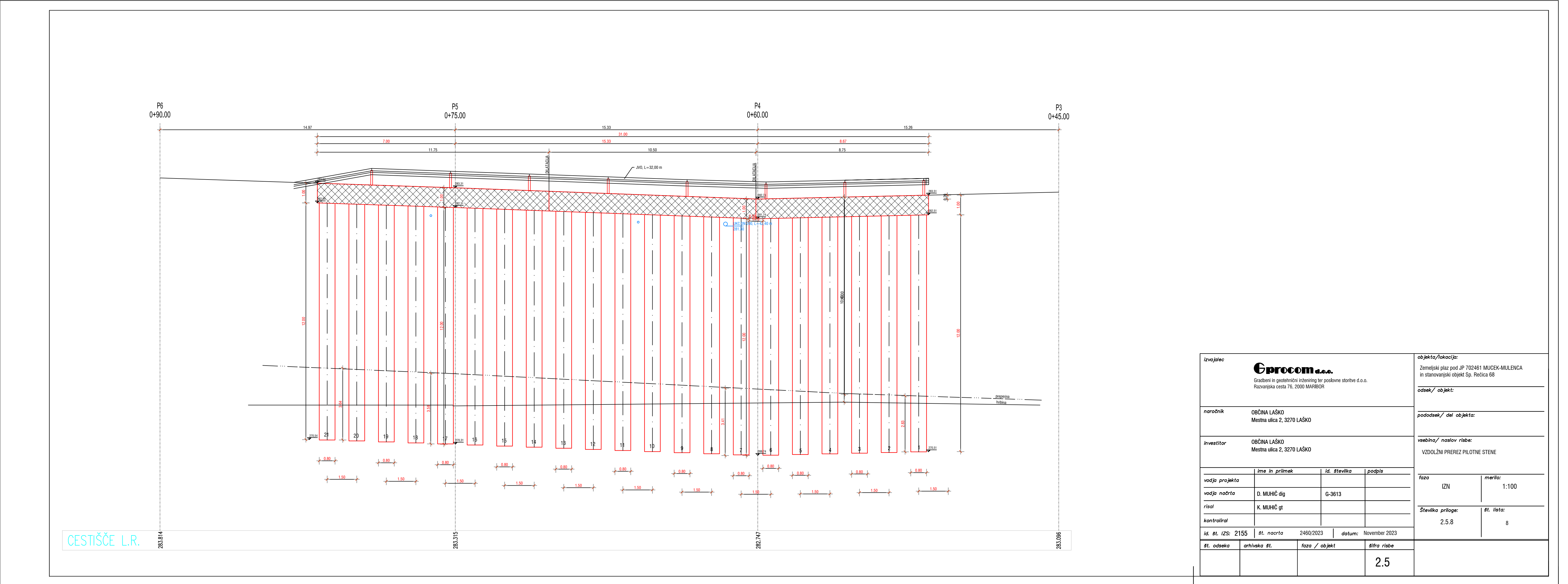


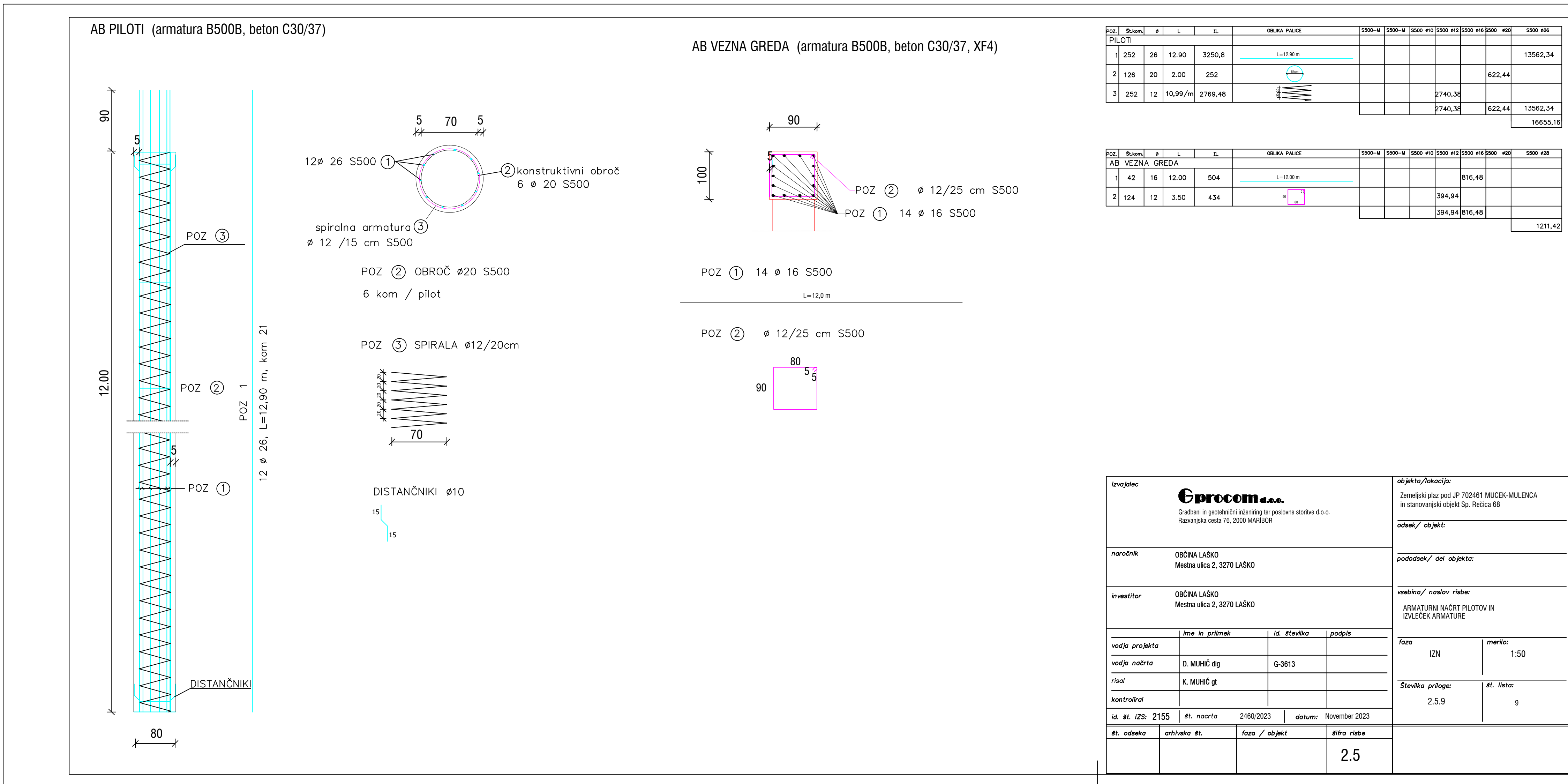




izvajalec	Procom d.o.o.	objekta/lokacija:
		Zemeljski plaz pod JP 702461 MUCEK-MULENCA in stanovanjski objekt Sp. Rečica 68 Razvanjska cesta 76, 2000 MARIBOR
odsek/ objekt:		
podosek/ del objekta:		
vsebina/ naslov risbe:		KARAKTERISTIČNI PREREZA CESTE
faza	IZN	merilo: 1:50
Številka priloge:	2.5.6	st. lista: 6
id. št. IZS:	2155	st. nacrtu: 2460/2023 datum: November 2023
št. odseka	arhivska št.	faza / objekt
		šifra risbe
		2.5



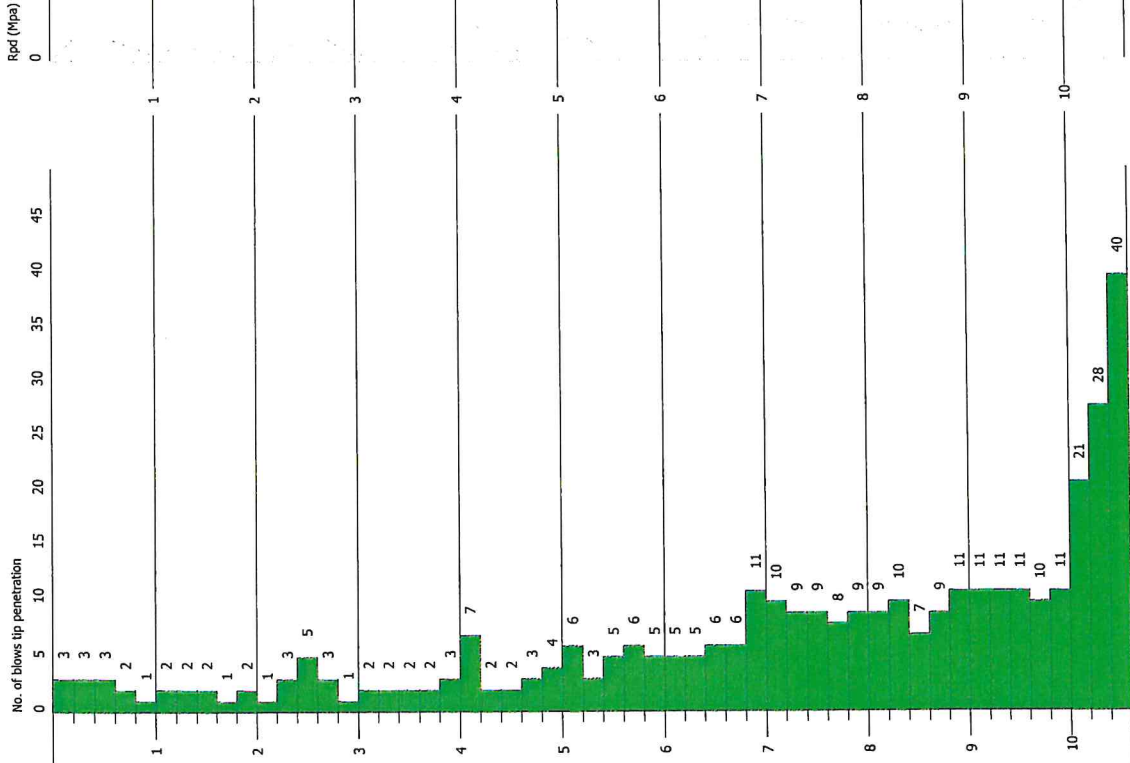




Rezultati meritve DP sond

DYNAMIC PENETRATION TEST DP-1

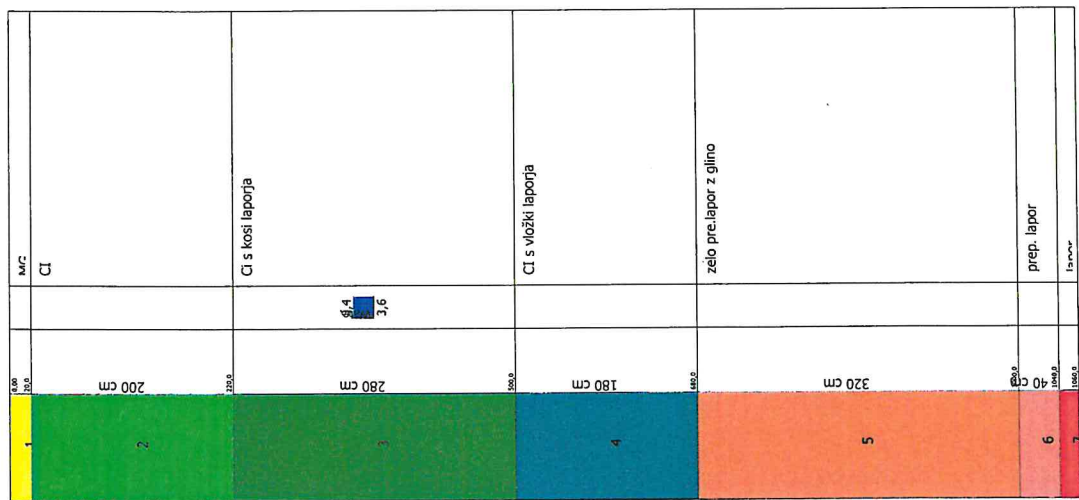
Customer: JP 702461 MACEK-MULENCA
Description:
Location: OBCINA LASKO



Date: 10.11.2023

Scale 1:52

卷之三



SIGNATURE 2

(GNATURE 1

Layer depth (m)	Rd (Mpa)	N DPM	Cohesive	Cohesionless	Unit weight (KN/m3)	Saturated unit weight (KN/m3)	Correlation Coef. with Nspt	Clay Fraction (%)	Texture	Description	Path	ID	N60	Effective stress (kPa)	CN	N1,60
0,2	3	2,86	☒	☒	14,91	18,44	1,49	4,47	0	MG		1	4,47	1,49	1,7	7,6
2,2	1,9	1,71	☒	☒	15,89	18,24	1,5	2,86	0	CI		2	2,86	18,87	1,7	4,86
5	2,93	2,2	☒	☒	16,97	18,34	1,52	4,46	0	CI skoří		3	4,46	56,83	1,31	5,84
6,8	5,22	3,43	☒	☒	18,63	18,73	1,54	8,03	0	CI svložkí		4	8,03	101,33	0,98	7,83
10	9,75	5,6	☒	☒	18,44	19,12	1,55	15,15	0	zelo		5	15,15	148,78	0,81	12,28
10,4	24,5	12,9	☒	☒	21,48	20,5	1,56	38,27	0	prep. lapor		6	38,27	183,47	0,73	27,95
10,6	40	21,06	☒	☒	22,65	21,38	1,56	62,48	0	lapor		7	62,48	189,71	0,72	44,87

TEST...DP-1

Equipment used... DPSH (Dinamic Probing Super Heavy)
 Test performed on 10. 11. 2023
 Test depth 10,60 m
 GWT found

Processing type nr. blows: Average

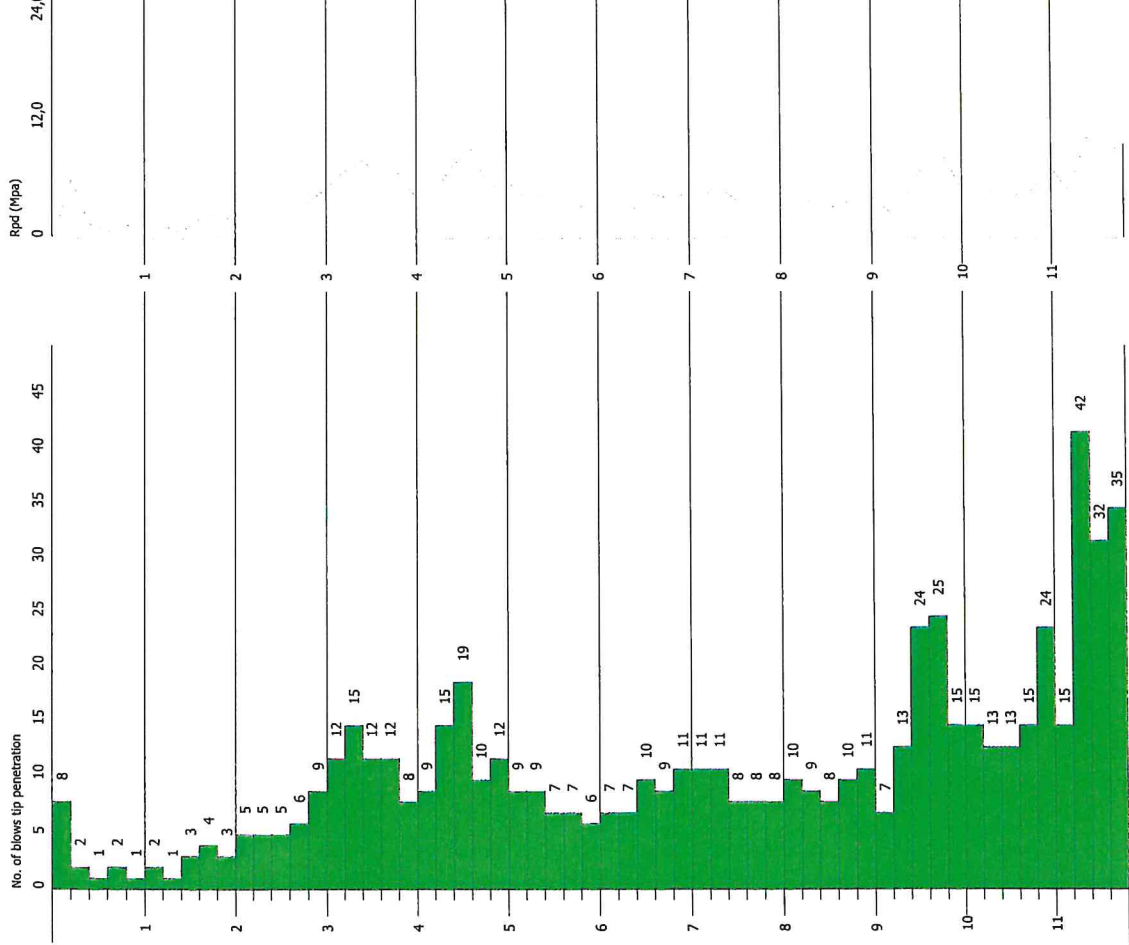
Depth (m)	No. of blows	Calculation Chi probe reduction coeff.	Reduced dyn. resistance (Mpa)	Dynamic resistance (Mpa)	Reduced allowable pressure Herminier - Dutch (KPa)	Allow. pressure Herminier - Dutch (KPa)
0,20	3	0,855	2,44	2,86	122,17	142,95
0,40	3	0,851	2,43	2,86	121,62	142,95
0,60	3	0,847	2,42	2,86	121,08	142,95
0,80	2	0,843	1,61	1,91	80,37	95,30
1,00	1	0,840	0,74	0,88	37,02	44,08
1,20	2	0,836	1,47	1,76	73,73	88,16
1,40	2	0,833	1,47	1,76	73,43	88,16
1,60	2	0,830	1,46	1,76	73,13	88,16
1,80	1	0,826	0,73	0,88	36,42	44,08
2,00	2	0,823	1,35	1,64	67,51	82,02
2,20	1	0,820	0,67	0,82	33,63	41,01
2,40	3	0,817	2,01	2,46	100,53	123,02
2,60	5	0,814	3,34	4,10	166,95	205,04
2,80	3	0,811	2,00	2,46	99,82	123,02
3,00	1	0,809	0,62	0,77	31,00	38,34
3,20	2	0,806	1,24	1,53	61,80	76,67
3,40	2	0,803	1,23	1,53	61,60	76,67
3,60	2	0,801	1,23	1,53	61,41	76,67
3,80	2	0,798	1,22	1,53	61,22	76,67
4,00	3	0,796	1,72	2,16	85,95	107,98
4,20	7	0,794	4,00	5,04	199,97	251,94
4,40	2	0,791	1,14	1,44	56,97	71,98
4,60	2	0,789	1,14	1,44	56,81	71,98
4,80	3	0,787	1,70	2,16	84,99	107,98
5,00	4	0,785	2,13	2,71	106,50	135,67
5,20	6	0,783	3,19	4,07	159,34	203,50
5,40	3	0,781	1,59	2,04	79,47	101,75
5,60	5	0,779	2,64	3,39	132,13	169,59
5,80	6	0,777	3,16	4,07	158,18	203,50
6,00	5	0,775	2,49	3,21	124,34	160,34
6,20	5	0,774	2,48	3,21	124,06	160,34
6,40	5	0,772	2,48	3,21	123,79	160,34
6,60	6	0,770	2,96	3,85	148,23	192,41
6,80	6	0,769	2,96	3,85	147,92	192,41
7,00	11	0,767	5,13	6,69	256,64	334,52
7,20	10	0,766	4,66	6,08	232,84	304,11
7,40	9	0,764	4,18	5,47	209,15	273,70

7,60	9	0,763	4,18	5,47	208,75	273,70
7,80	8	0,761	3,70	4,87	185,21	243,29
8,00	9	0,760	3,96	5,21	197,77	260,25
8,20	9	0,759	3,95	5,21	197,42	260,25
8,40	10	0,757	4,38	5,78	218,97	289,17
8,60	7	0,756	3,06	4,05	153,02	202,42
8,80	9	0,755	3,93	5,21	196,42	260,25
9,00	11	0,753	4,57	6,06	228,45	303,19
9,20	11	0,752	4,56	6,06	228,08	303,19
9,40	11	0,751	4,55	6,06	227,73	303,19
9,60	11	0,750	4,55	6,06	227,38	303,19
9,80	10	0,749	4,13	5,51	206,39	275,62
10,00	11	0,748	4,33	5,79	216,55	289,62
10,20	21	0,647	7,15	11,06	357,51	552,91
10,40	28	0,646	9,52	14,74	475,88	737,22
10,60	40	0,544	11,47	21,06	573,39	1053,17

Layer depth (m)	NPDM	Rd (Mpa)	Type	Clay Fraction (%)	Unit weight (KN/m ³)	Saturated unit weight (KN/m ³)	Effective stress (KPa)	Correlation Coeff. with Nspt	NSPT	Description
0,2	3	2,86	Cohesionless	0	14,91	18,44	1,49	1,49	4,47	Mg
2,2	1,9	1,71	Cohesive	0	15,89	18,24	18,87	1,5	2,86	CI
5	2,93	2,2	Cohesive	0	16,97	18,34	56,83	1,52	4,46	Ci s kosi laporja
6,8	5,22	3,43	Cohesive	0	18,63	18,73	101,33	1,54	8,03	CI s vložki laporja
10	9,75	5,6	Cohesionless	0	18,44	19,12	148,78	1,55	15,15	zelo pre.lapor z glino
10,4	24,5	12,9	Cohesionless	0	21,48	20,5	183,47	1,56	38,27	prep. lapor
10,6	40	21,06	Cohesionless	0	22,65	21,38	189,71	1,56	62,48	lapor

DYNAMIC PENETRATION TEST DP-2
Equipment used... DPH (Dynamic Probing Super Heavy)

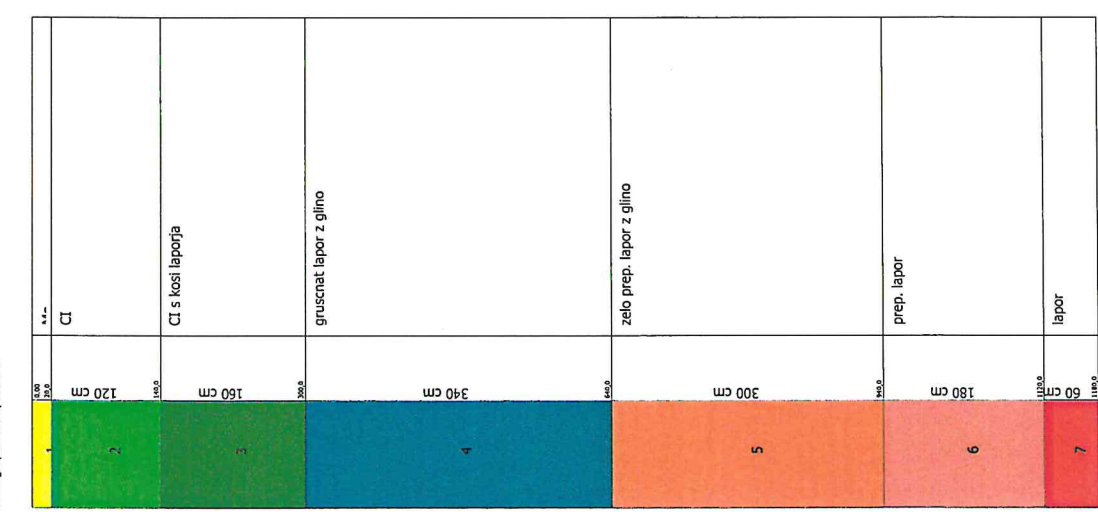
Customer: JP 702461 MACEK-MULENCA
Description:
Location: OBCINA LASKO



Date: 10.11.2023

Scale 1:58

Location: OBCINA LAS



SIGNATURE 2

Layer depth (m)	N DPM	Rd (Mpa)	Cohesive	Cohesionless	Unit weight (KN/m ³)	Saturated unit weight (KN/m ³)	Correlation Coeff. with Nspt	NSPT	Clay Fraction (%)	Texture	Description	Path	ID	N60	Effective stress (kPa)	CN	N1,60
0,2	8	7,62	□	▷	17,55	18,93	1,49	11,93	0	Mg			1	11,93	1,75	1,7	20,28
1,4	1,5	1,38	▷	□	15,49	18,14	1,49	2,24	0	CI			2	2,24	12,8	1,7	3,8
3	5	4,1	▷	□	18,44	18,63	1,51	7,57	0	CI s kosi			3	7,57	36,85	1,62	12,27
6,4	10,35	7,39	□	▷	18,63	19,12	1,53	15,85	0	gruscnat			4	15,85	83,27	1,08	17,15
9,4	9,6	5,67	□	▷	18,44	19,12	1,55	14,87	0	zelo prep.			5	14,87	142,6	0,82	12,2
11,2	17,67	9,34	□	▷	20,69	19,91	1,56	27,6	0	prep. lapor			6	27,6	188,88	0,71	19,59
11,8	36,33	18,31	□	▷	22,26	21,18	1,57	56,89	0	lapor			7	56,89	214,18	0,67	37,99

TEST...DP-2

Equipment used... DPSH (Dinamic Probing Super Heavy)
 Test performed on 10. 11. 2023
 Test depth 11,80 m
 No GWT found

Processing type nr. blows: Average

Depth (m)	No. of blows	Calculation Chi probe reduction coeff.	Reduced dyn. resistance (Mpa)	Dynamic resistance (Mpa)	Reduced allowable pressure Herminier - Dutch (KPa)	Allow. pressure Herminier - Dutch (KPa)
0,20	8	0,855	6,52	7,62	325,78	381,20
0,40	2	0,851	1,62	1,91	81,08	95,30
0,60	1	0,847	0,81	0,95	40,36	47,65
0,80	2	0,843	1,61	1,91	80,37	95,30
1,00	1	0,840	0,74	0,88	37,02	44,08
1,20	2	0,836	1,47	1,76	73,73	88,16
1,40	1	0,833	0,73	0,88	36,71	44,08
1,60	3	0,830	2,19	2,64	109,70	132,24
1,80	4	0,826	2,91	3,53	145,70	176,32
2,00	3	0,823	2,03	2,46	101,27	123,02
2,20	5	0,820	3,36	4,10	168,16	205,04
2,40	5	0,817	3,35	4,10	167,55	205,04
2,60	5	0,814	3,34	4,10	166,95	205,04
2,80	6	0,811	3,99	4,92	199,65	246,05
3,00	9	0,809	5,58	6,90	279,02	345,03
3,20	12	0,806	7,42	9,20	370,79	460,04
3,40	15	0,753	8,66	11,50	433,24	575,05
3,60	12	0,801	7,37	9,20	368,43	460,04
3,80	12	0,798	7,35	9,20	367,30	460,04
4,00	8	0,796	4,58	5,76	229,20	287,93
4,20	9	0,794	5,14	6,48	257,10	323,93
4,40	15	0,741	8,01	10,80	400,28	539,88
4,60	19	0,739	10,11	13,68	505,52	683,84
4,80	10	0,787	5,67	7,20	283,29	359,92
5,00	12	0,785	6,39	8,14	319,51	407,01
5,20	9	0,783	4,78	6,11	239,02	305,25
5,40	9	0,781	4,77	6,11	238,42	305,25
5,60	7	0,779	3,70	4,75	184,98	237,42
5,80	7	0,777	3,69	4,75	184,54	237,42
6,00	6	0,775	2,98	3,85	149,21	192,41
6,20	7	0,774	3,47	4,49	173,69	224,48
6,40	7	0,772	3,47	4,49	173,30	224,48
6,60	10	0,770	4,94	6,41	247,04	320,69
6,80	9	0,769	4,44	5,77	221,87	288,62
7,00	11	0,767	5,13	6,69	256,64	334,52
7,20	11	0,766	5,12	6,69	256,13	334,52
7,40	11	0,764	5,11	6,69	255,63	334,52

7,60	8	0,763	3,71	4,87	185,56	243,29
7,80	8	0,761	3,70	4,87	185,21	243,29
8,00	8	0,760	3,52	4,63	175,79	231,34
8,20	10	0,759	4,39	5,78	219,35	289,17
8,40	9	0,757	3,94	5,21	197,08	260,25
8,60	8	0,756	3,50	4,63	174,88	231,34
8,80	10	0,755	4,36	5,78	218,24	289,17
9,00	11	0,753	4,57	6,06	228,45	303,19
9,20	7	0,752	2,90	3,86	145,14	192,94
9,40	13	0,701	5,02	7,17	251,22	358,31
9,60	24	0,650	8,60	13,23	429,94	661,50
9,80	25	0,649	8,94	13,78	447,07	689,06
10,00	15	0,698	5,51	7,90	275,55	394,94
10,20	15	0,697	5,50	7,90	275,11	394,94
10,40	13	0,696	4,76	6,85	238,06	342,28
10,60	13	0,694	4,75	6,85	237,69	342,28
10,80	15	0,693	5,48	7,90	273,84	394,94
11,00	24	0,642	7,77	12,10	388,51	604,84
11,20	15	0,691	5,23	7,56	261,33	378,02
11,40	42	0,540	11,44	21,17	571,86	1058,46
11,60	32	0,589	9,50	16,13	475,20	806,45
11,80	35	0,588	10,38	17,64	518,85	882,05

Layer depth (m)	NPDM	Rd (Mpa)	Type	Clay Fraction (%)	Unit weight (KN/m3)	Saturated unit weight (KN/m3)	Effective stress (KPa)	Correlation Coeff. with Nspt	NSPT	Description
0,2	8	7,62	Cohesionless	0	17,55	18,93	1,76	1,49	11,93	Mg
1,4	1,5	1,38	Cohesive	0	15,49	18,14	12,8	1,49	2,24	CI
3	5	4,1	Cohesive	0	18,44	18,63	36,85	1,51	7,57	CI s kosi laporja
6,4	10,35	7,39	Cohesionless	0	18,63	19,12	83,27	1,53	15,85	grusnat lapor z glino
9,4	9,6	5,67	Cohesionless	0	18,44	19,12	142,6	1,55	14,87	zelo prep. lapor z glino
11,2	17,67	9,34	Cohesionless	0	20,69	19,91	188,89	1,56	27,6	prep. lapor
11,8	36,33	18,31	Cohesionless	0	22,26	21,18	214,18	1,57	56,89	lapor